

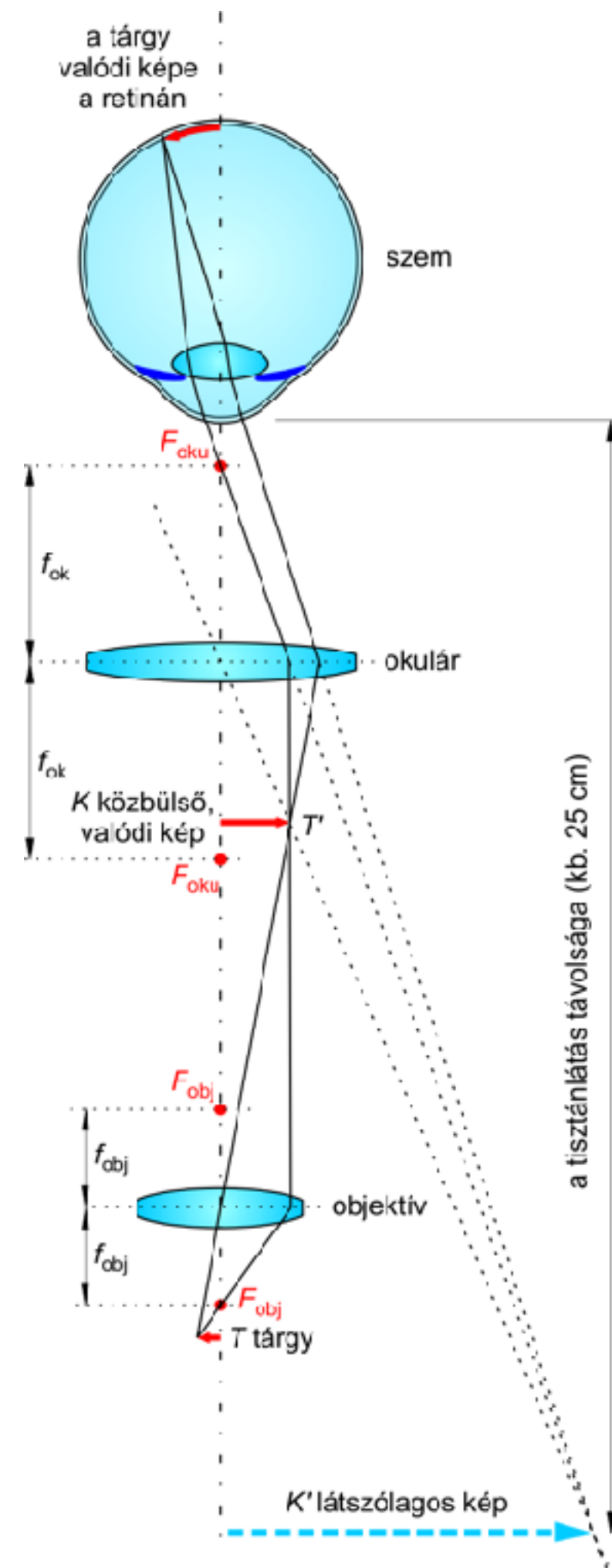
# Nagyfelbontású mikroszkópos módszerek Egymolekula biofizika

Kellermayer Miklós

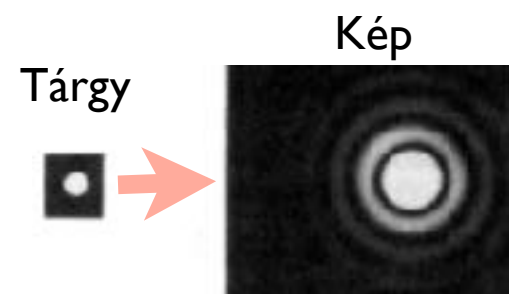
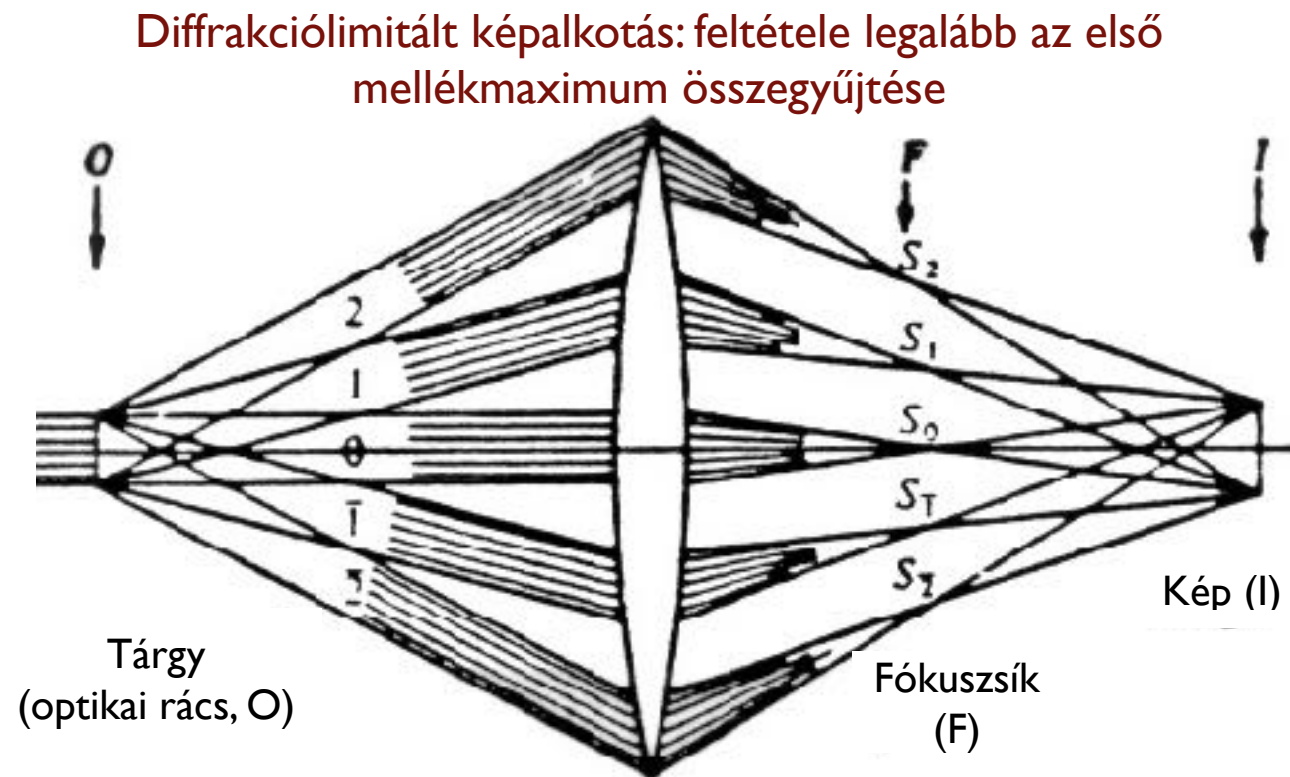
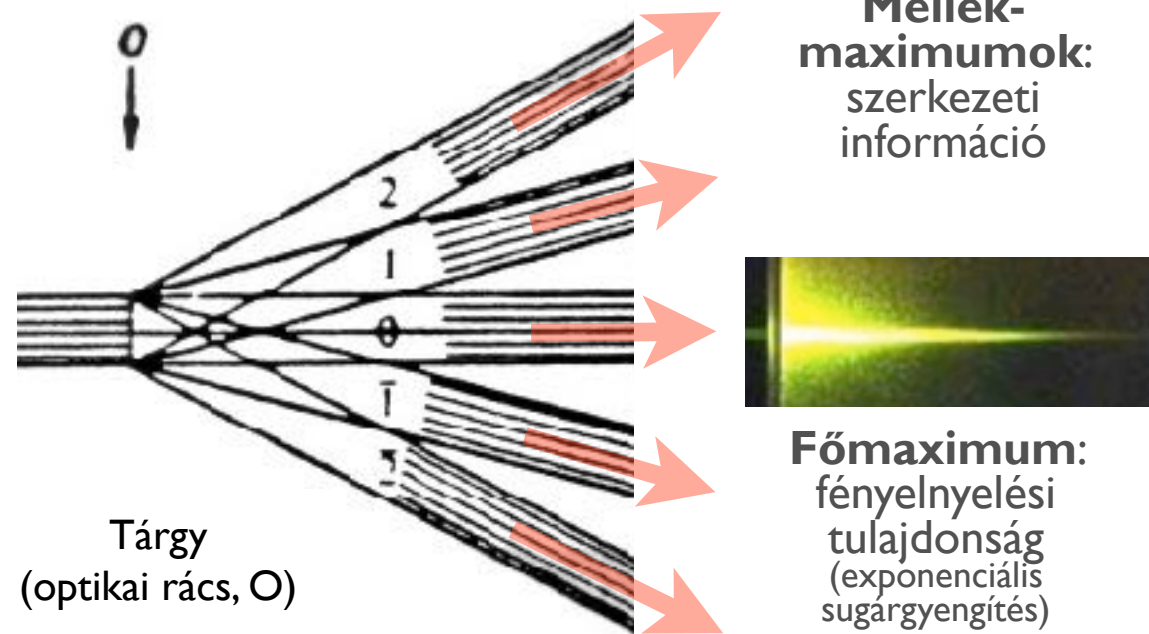
Semmelweis Egyetem  
Biofizikai és Sugárbiológiai Intézet

# Képzalkotás az összetett fény-mikroszkópban

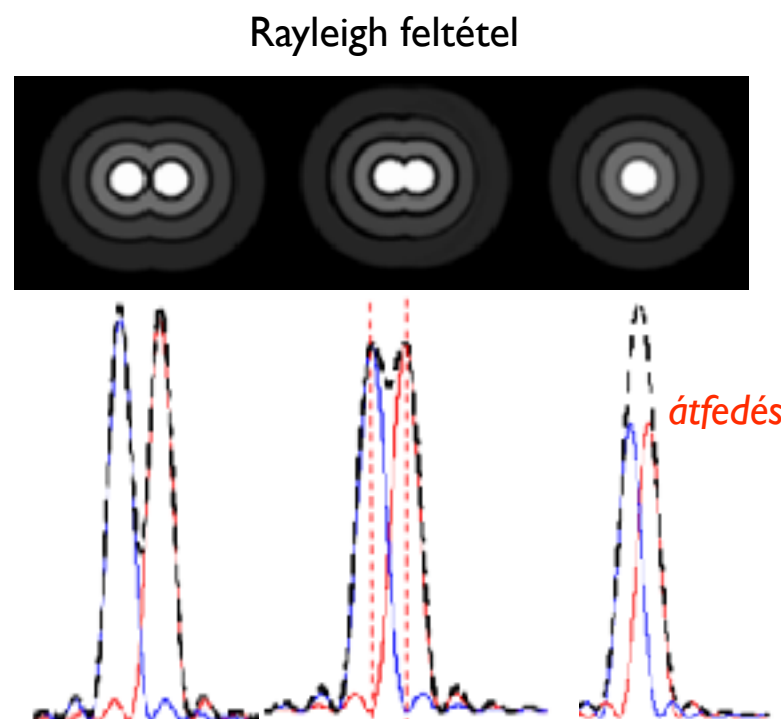
- Nagyított, fordított állású virtuális kép
- Leképezés feltétele: egy járulékos lencse (szemlencse) optikai útba helyezése



# A fénymikroszkóp feloldóképeségét a hullámtulajdonság korlátozza



Diffrakció miatt: pontszerű tárgy képe elhajlási korong (Airy disk)



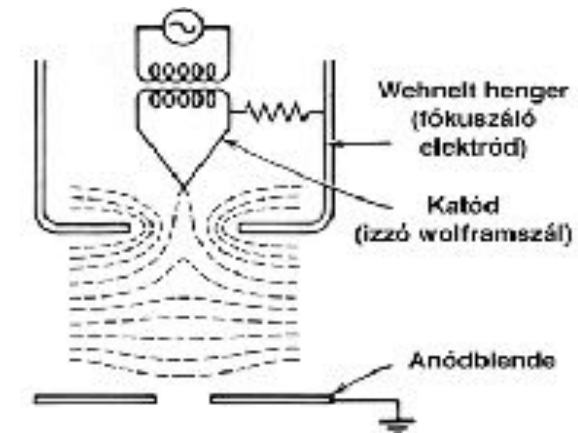
Legkisebb feloldott távolság (Abbé-képlet):

$$d = \frac{0.61\lambda}{n \sin \alpha}$$

$\lambda$  = hullámhossz  
 $n$  = közeg törésmutatója  
 $\alpha$  = optikai tengely és legszélső nyaláb által bezárt szög

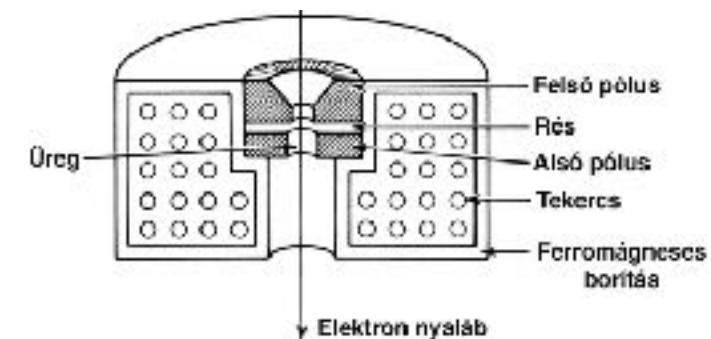
# Elektronmikroszkóp

**Sugárforrás:**  
elektronágyú



Ernst Ruska  
(Nobel-díj 1986)

**Fókuszálás:**  
elektronnyaláb  
kitérítése  
mágnestlencsével

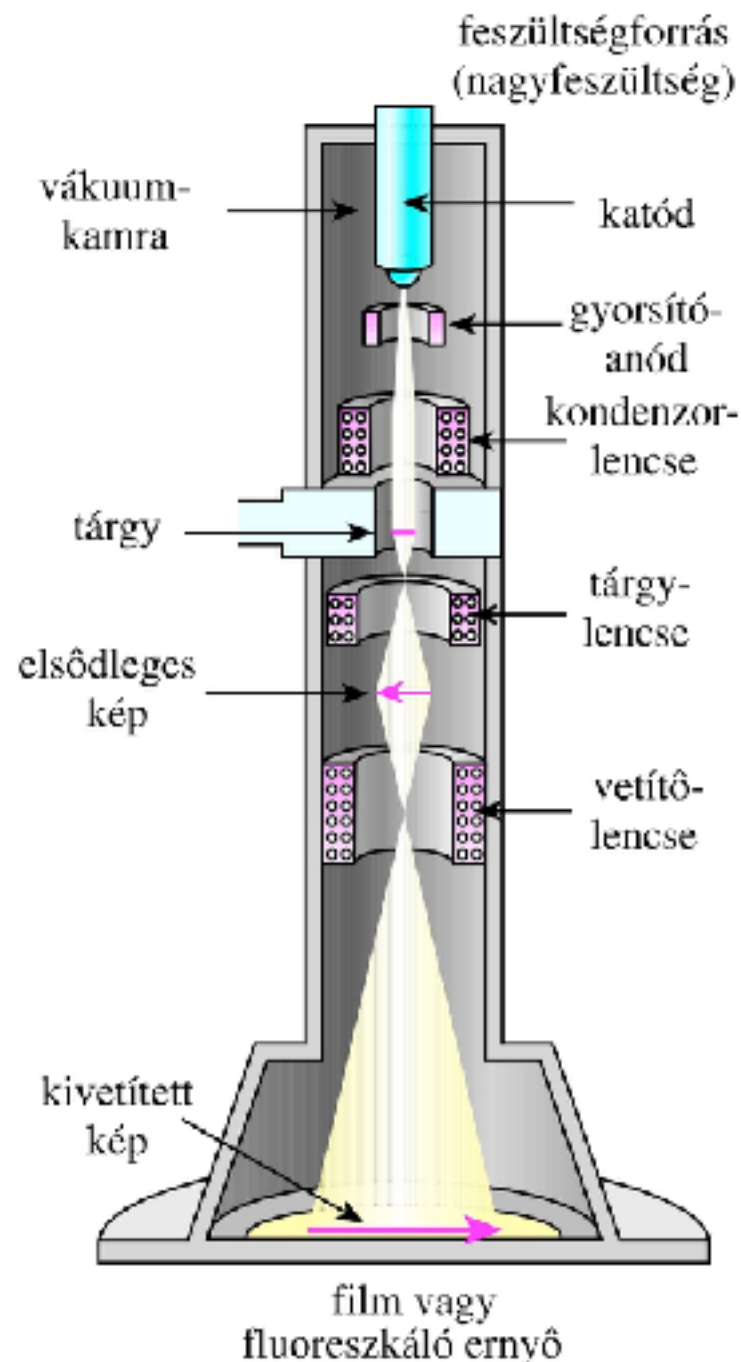


$F$ =elektronra ható erő;  $e$ =elektron töltése;  $B$ =mágneses térerő;  $V_e$ =elektron sebessége;  $\alpha$ =optikai tengely és a mágneses tér iránya által bezárt szög

$$F = eBV_e \sin \alpha$$

**Feloldóképesség:**  $d = \frac{\lambda}{\alpha}$

$d$ =legkisebb feloldott távolság  
 $\lambda$ =”de Broglie” hullámhossz  
 $\alpha$ =optikai tengely és a mágneses tér iránya által bezárt szög

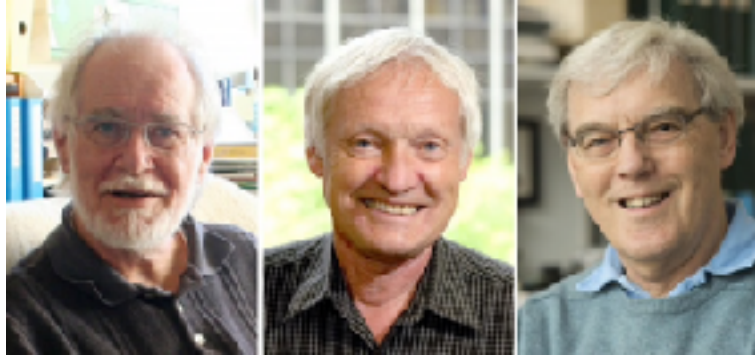


Transmissziós elektronmikroszkóp (TEM)

de Broglie hullámhossz alapján elméleti  $d \sim 0,005 \text{ nm}$  (=5 pm)



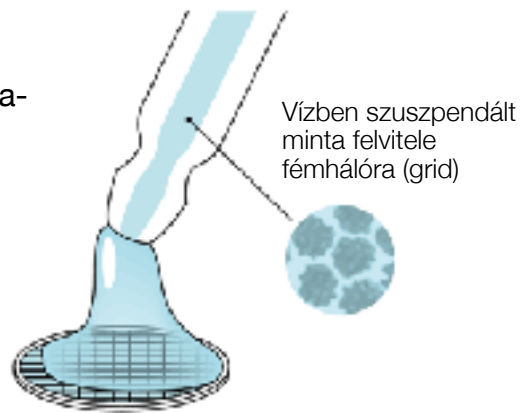
# Kémiai Nobel-díj 2017: Krioelektron mikroszkópia



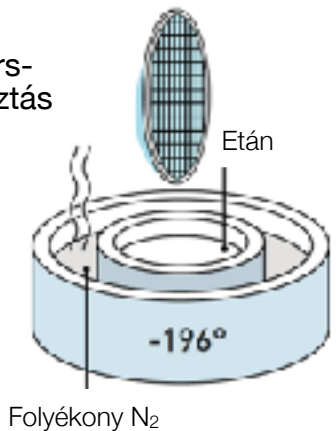
Jacques Dubochet, Joachim Frank, Richard Henderson

## Mintapreparálás

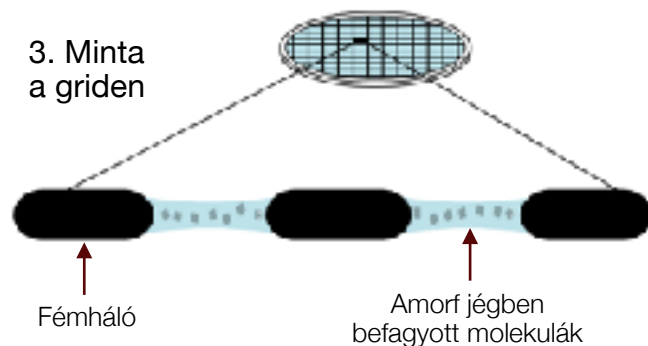
### 1. Minta-felvétel



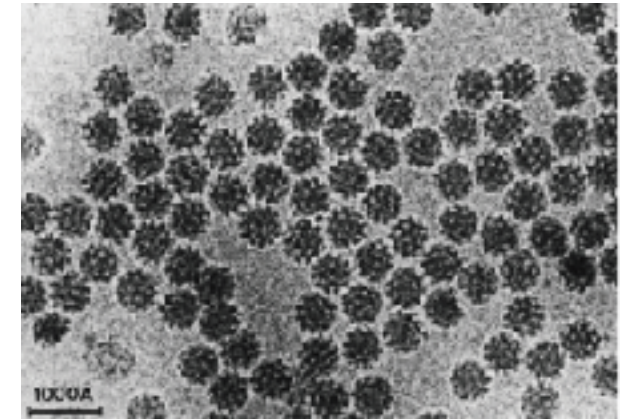
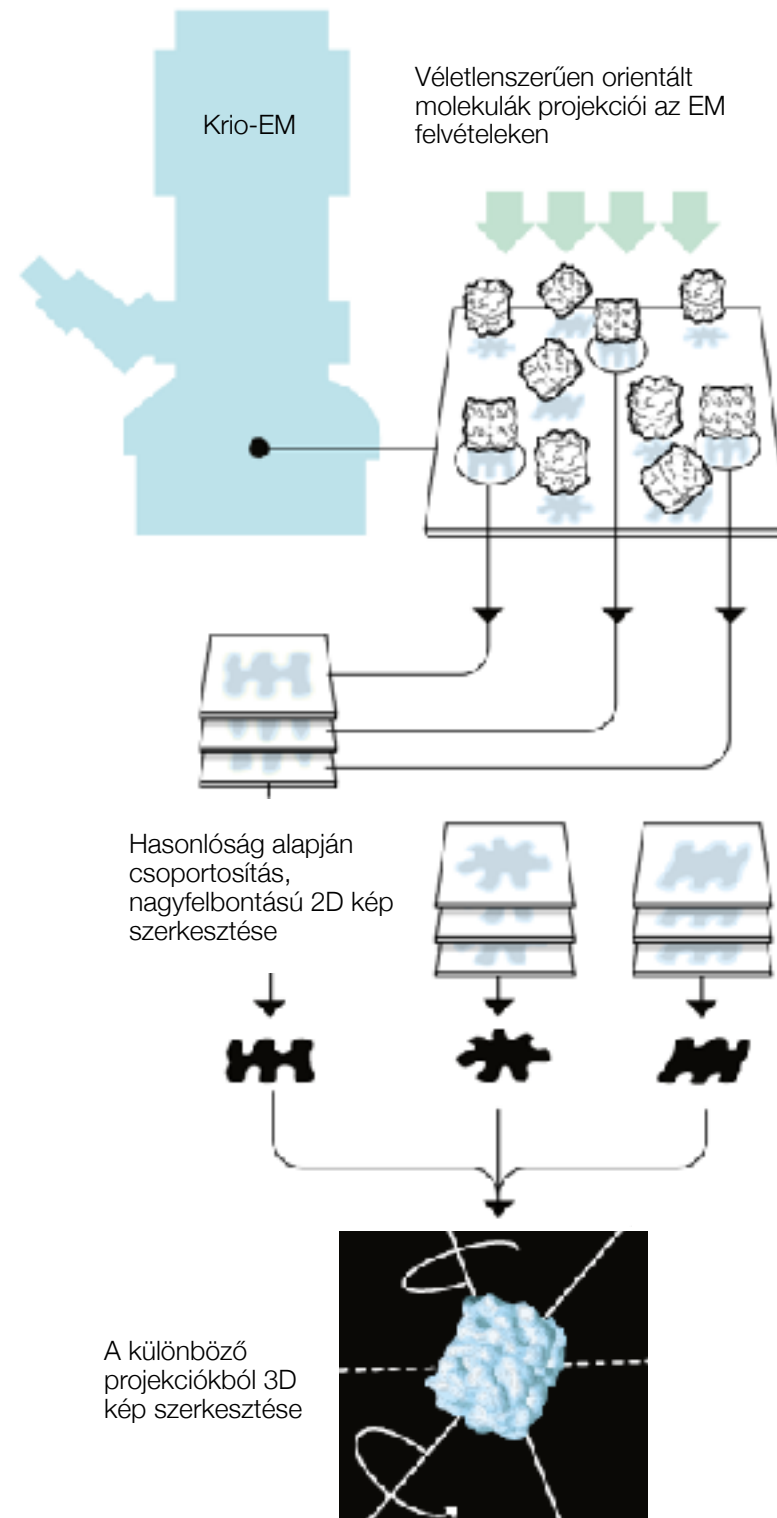
### 2. Gyors-fagyasztás



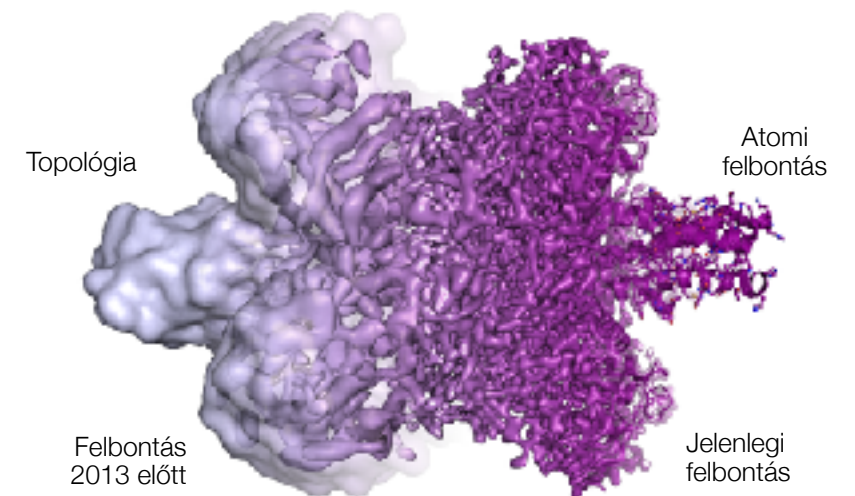
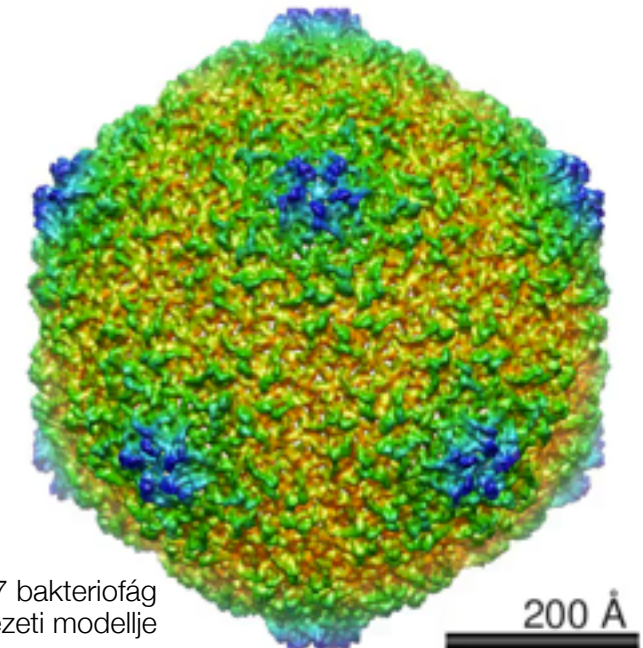
### 3. Minta a griden



## Krio-EM felvétel és képrekonstrukció



Első krioelektron mikroszkópos felvétel vírusokról (Dubochet, 1984)





# Szuperfelbontású mikroszkópia

Kémiai Nobel-díj, 2014



Eric Betzig

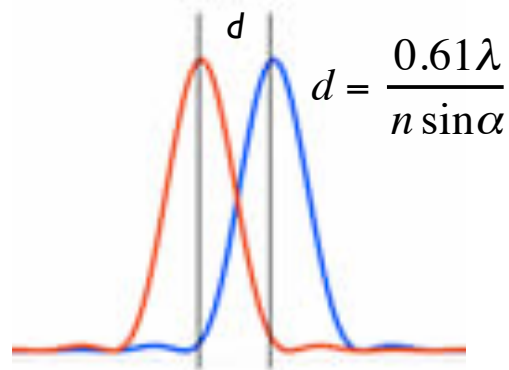


Stefan Hell

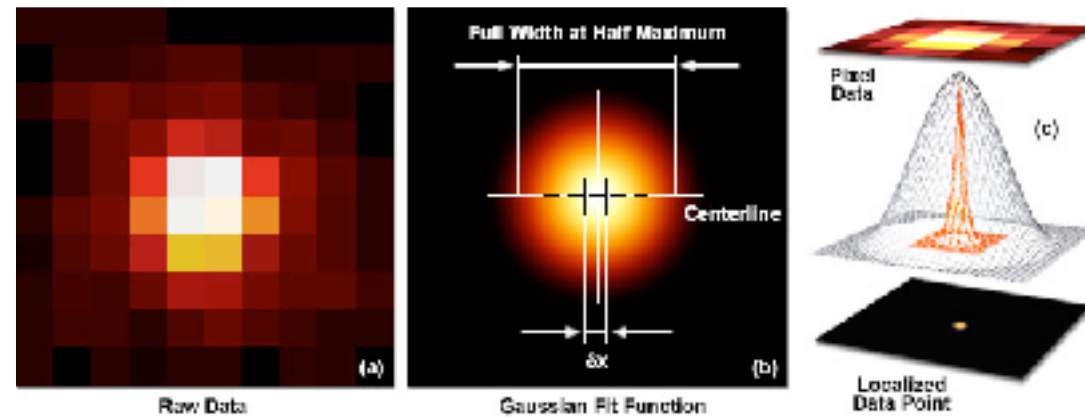


William E. Moerner

Feloldási probléma  
(Abbé-elv)



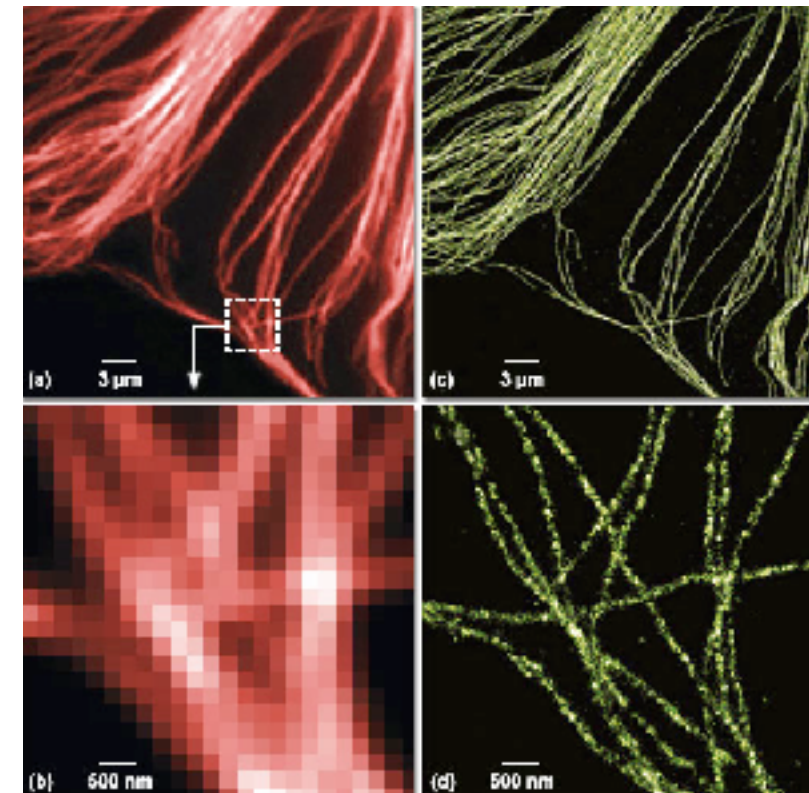
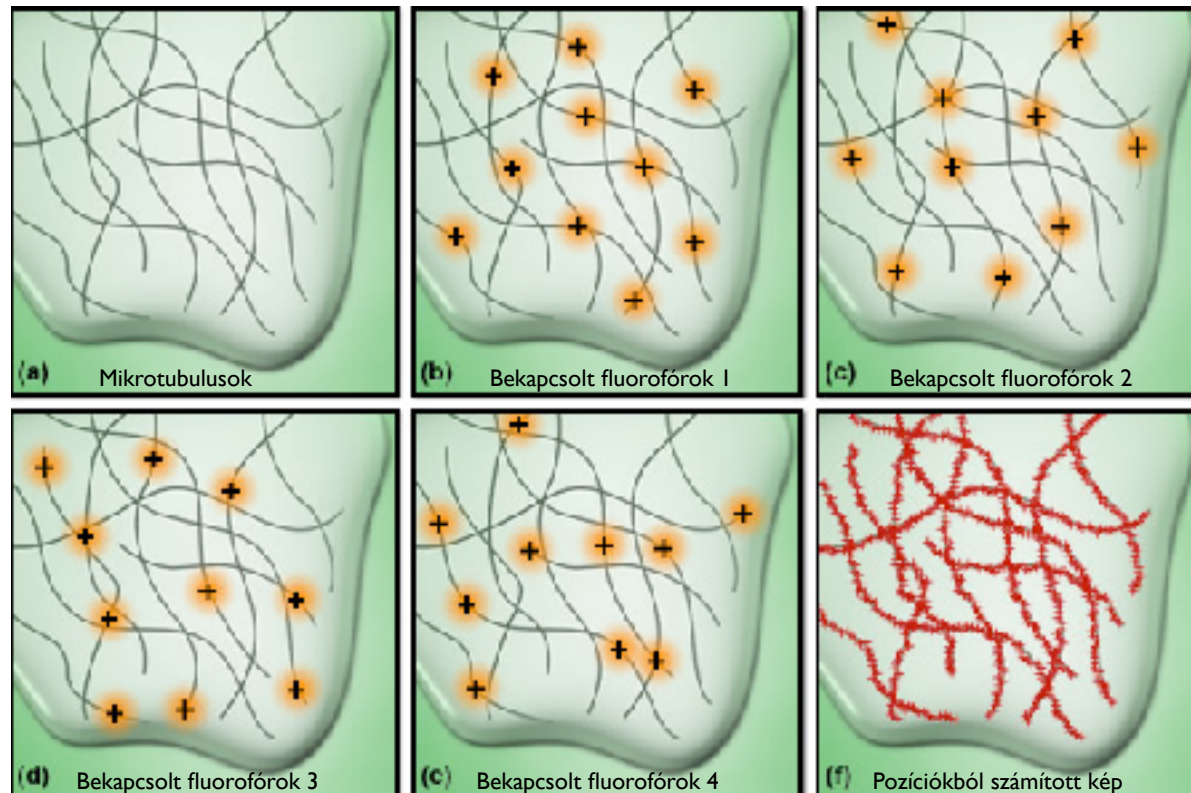
Pozíciómeghatározási probléma  
(pontosság a fotonszámtól függ)



“Sztochasztikus” adatgyűjtés egyedi fluorofórokról



STORM (“stochastic optical reconstruction microscopy”); PALM (“photoactivated localization microscopy”)



Adatgyűjtési  
folyamat

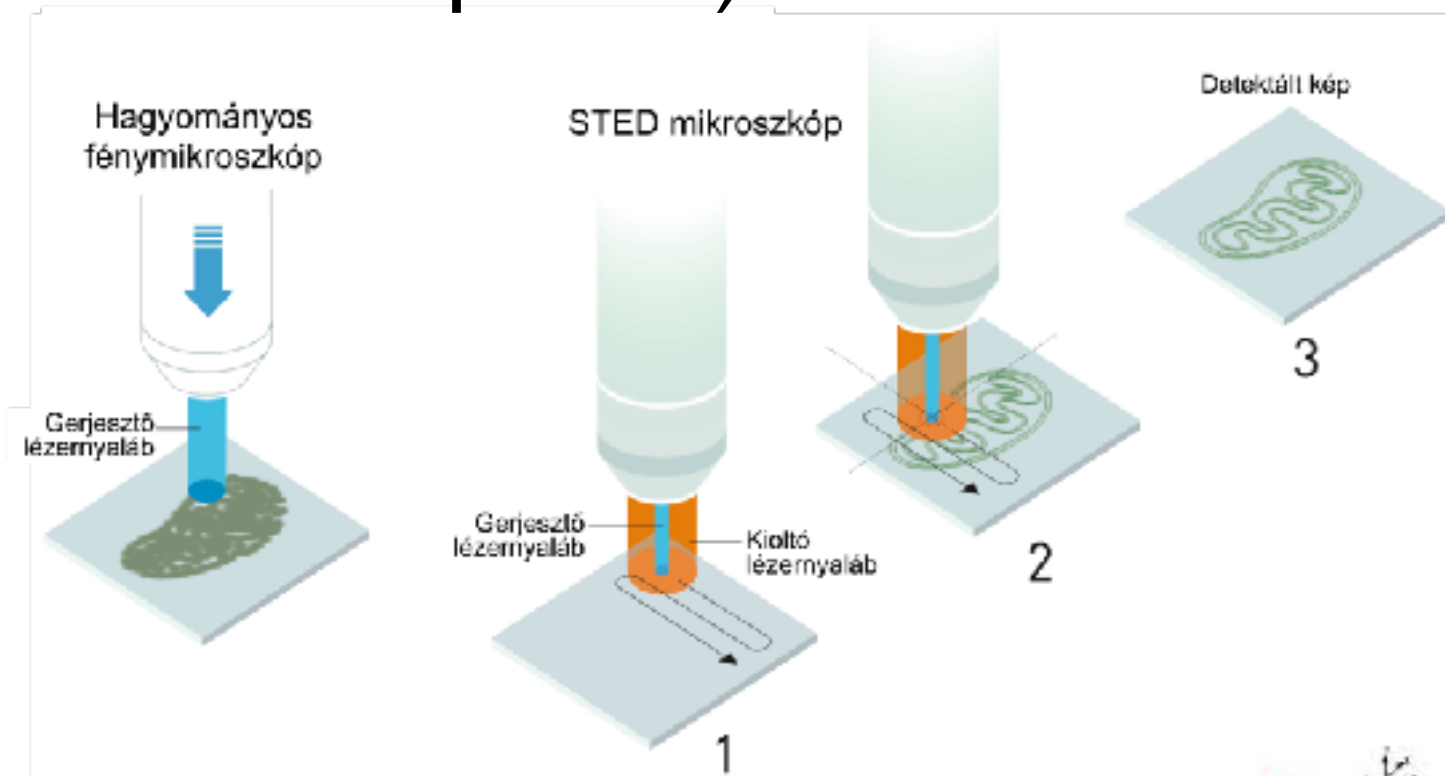
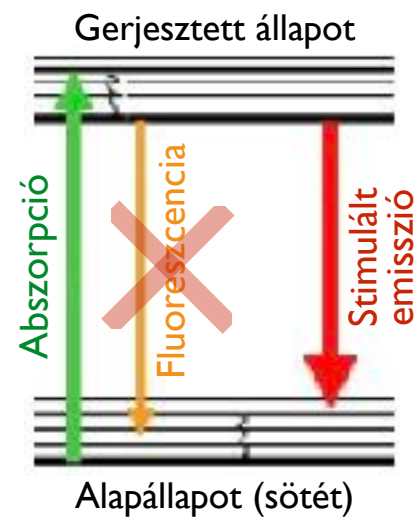
Mikrotubuláris  
rendszer



# STED mikroszkópia (STimulated Emission Depletion)



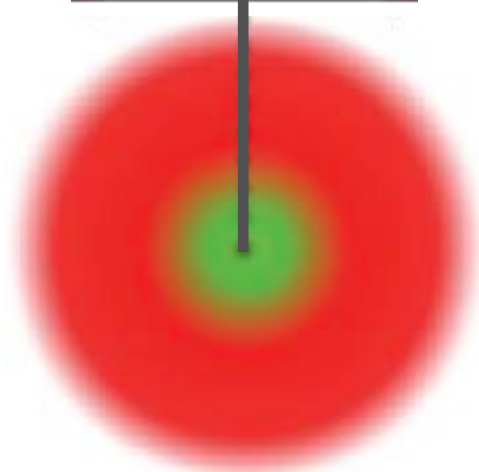
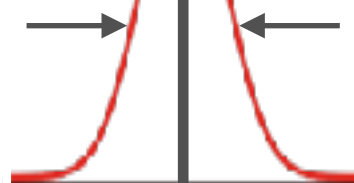
Stefan Hell  
(Nobel-díj 2014)



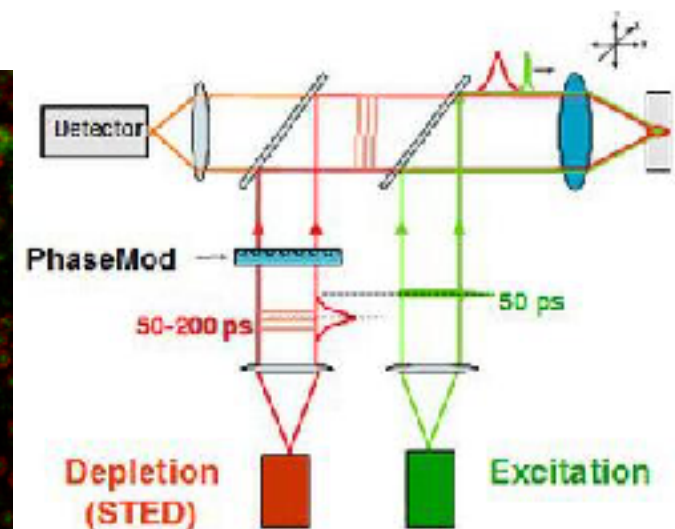
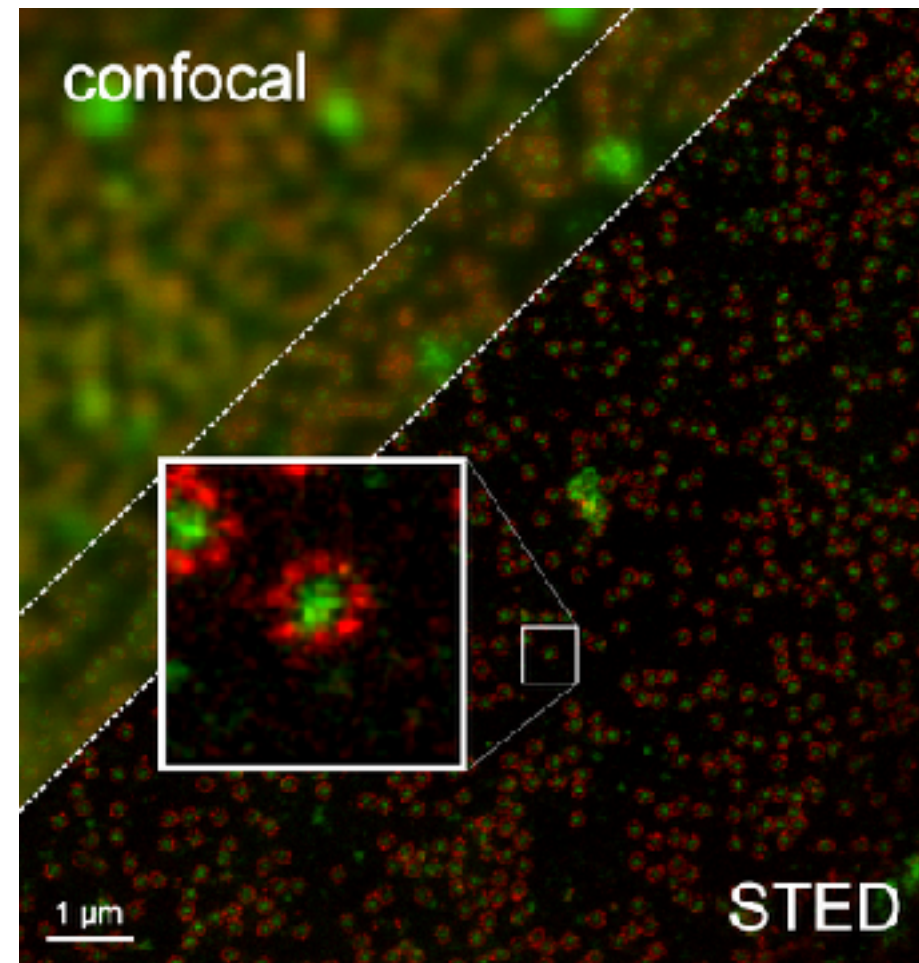
Hell: 
$$d = \frac{\lambda}{2 \cdot NA \sqrt{1 + I/I_s}}$$



Abbé: 
$$d = \frac{\lambda}{2 \cdot NA}$$

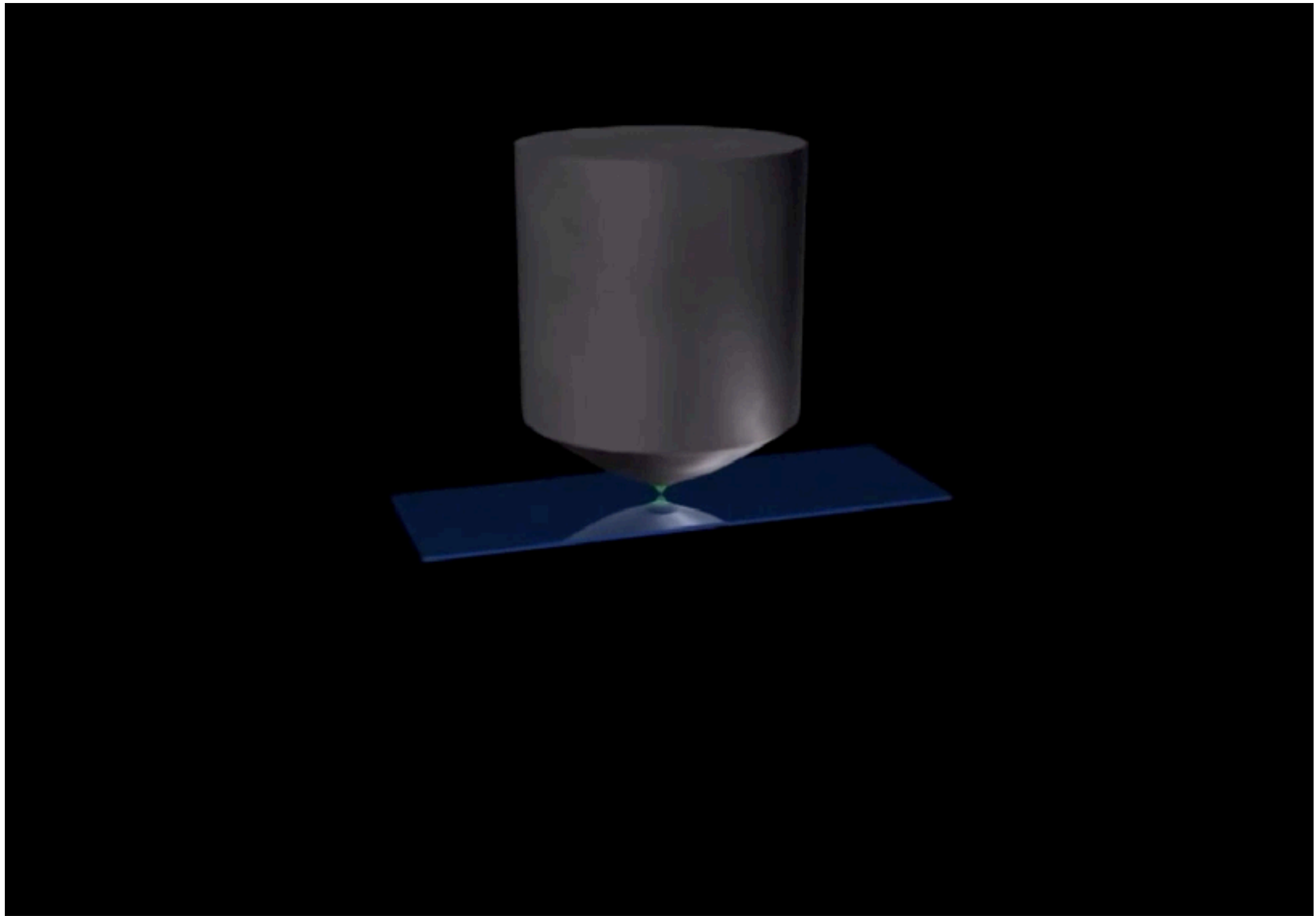


Depletáló lézer intenzitás ( $I$ ) növelése



Maghártya pórus  
komplexek STED  
mikroszkópos képe

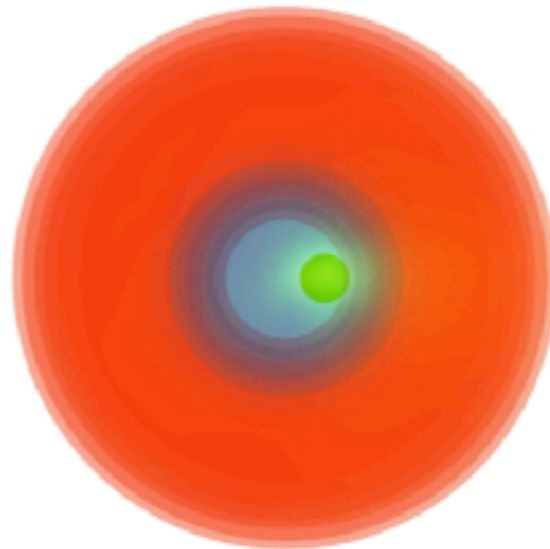
# STED mikroszkópia



# RESCue STED

## RESCue-STED

Probléma:  
a fluorfórra eső  
intenzitás hatalmas  
(~MW/cm<sup>2</sup>)



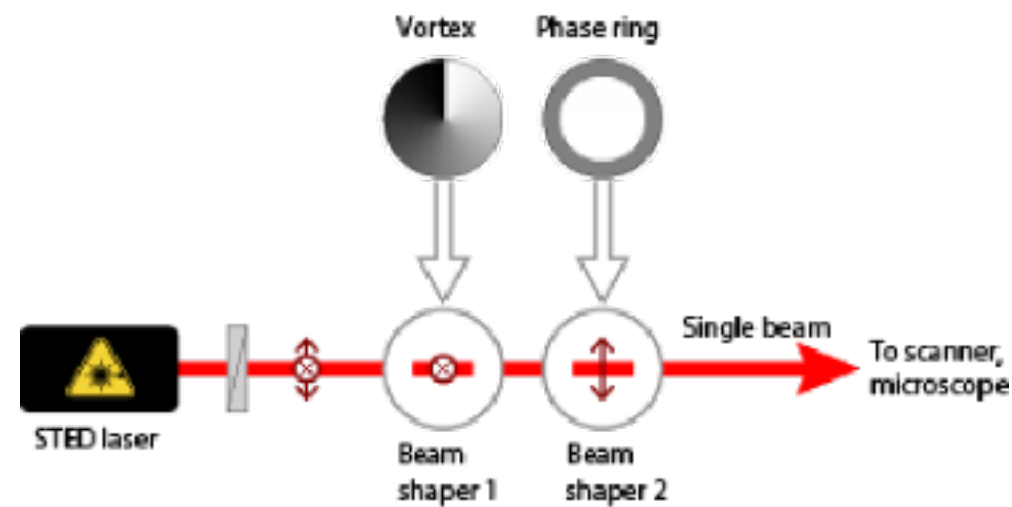
Laser beam duty cycles intelligently  
adapt to sample structure



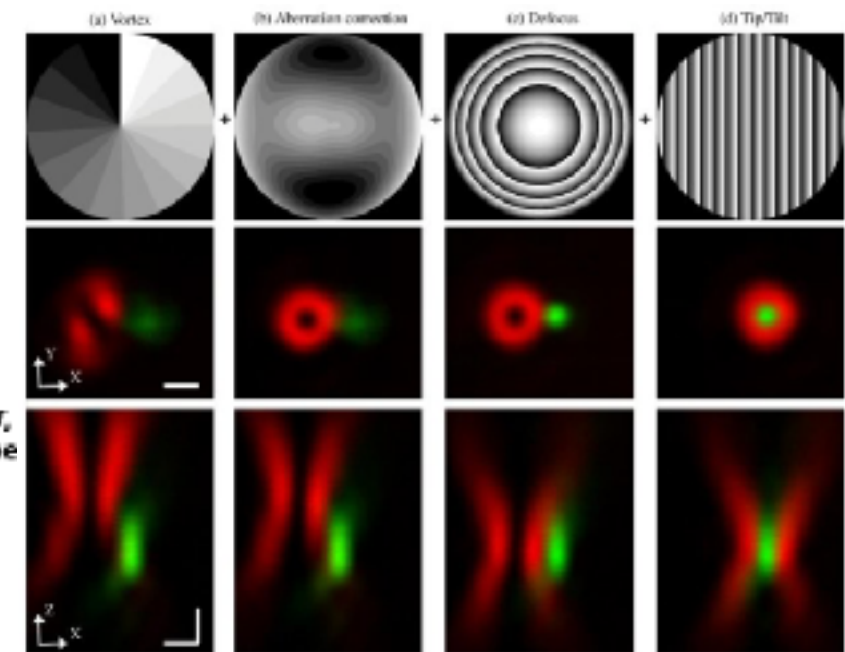
# 3D STED



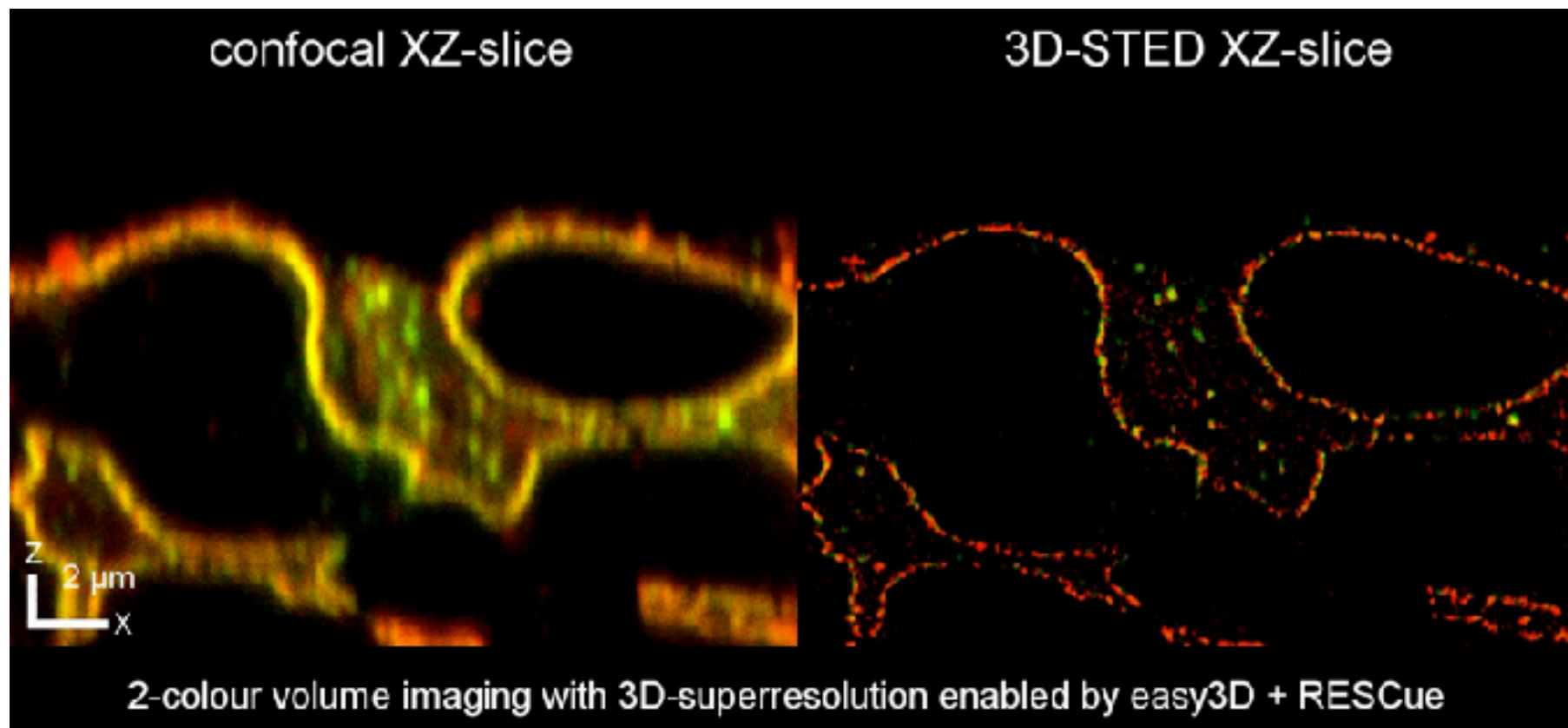
Programozható SLM (Spatial Light Modulator)



“Easy 3D STED”



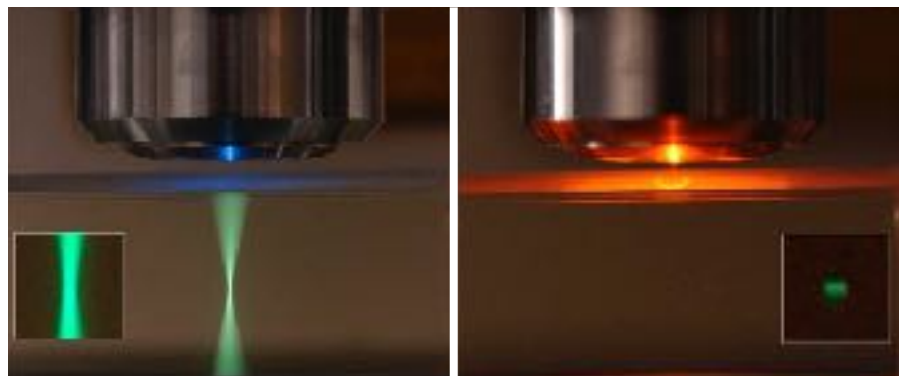
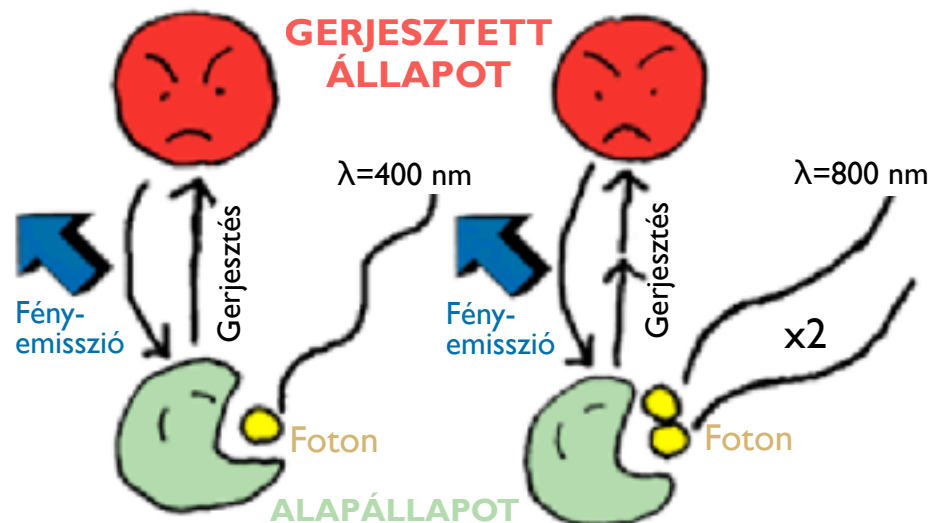
Aberráció korrekció



Nephrin (vörös), Podocin (zöld) (Abberior Instruments)

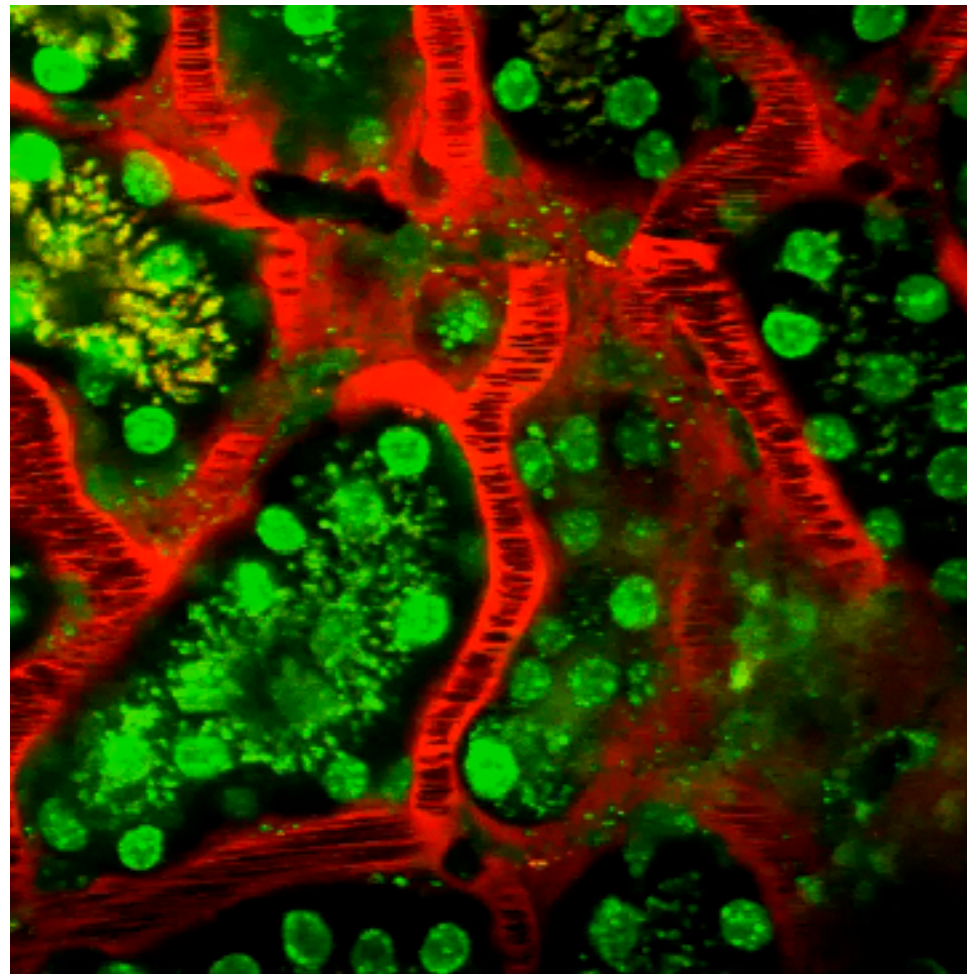
# Multifoton mikroszkópia

- Két (vagy több) foton energiája összeadódik a gerjesztéskor
- Gerjesztés (következésképp emisszió) csak a fókuszpontban (limitált fotokárosítás)
- Gerjesztés nagy (közele IR) hullámhosszú, rövid (fs) fényimpulzusokkal
- Nagy hullámhossz miatt mély optikai behatolás (akár 2 mm)
- Lokálisan aktivált fotokémiai reakciók lehetősége

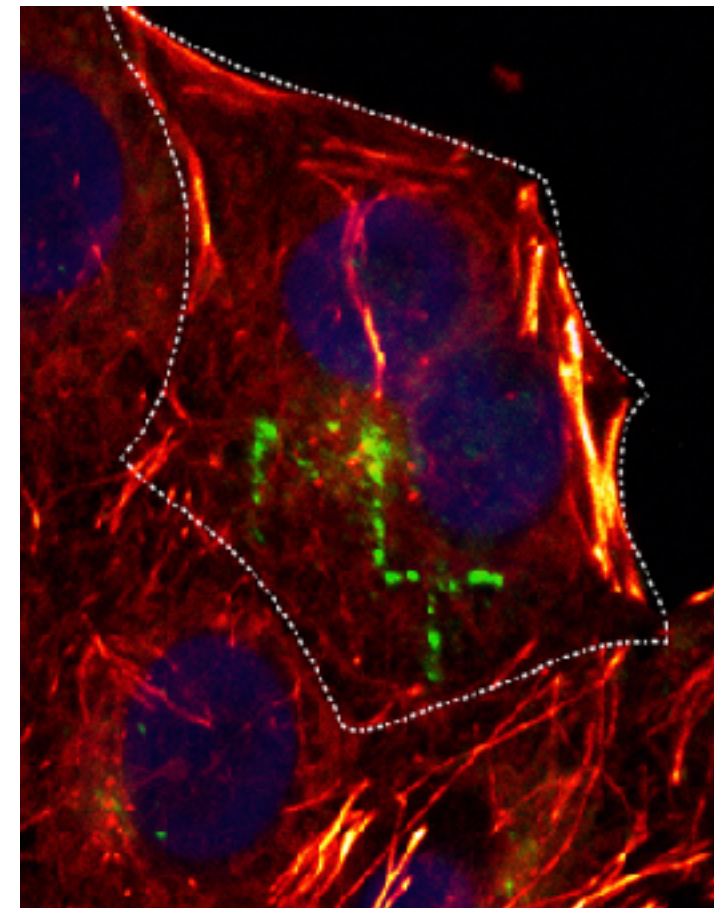


Egyfoton  
fluoreszcencia

Kétfoton  
fluoreszcencia



Zöld: proximális vesetubulusok; Vörös: albumin (plazma)

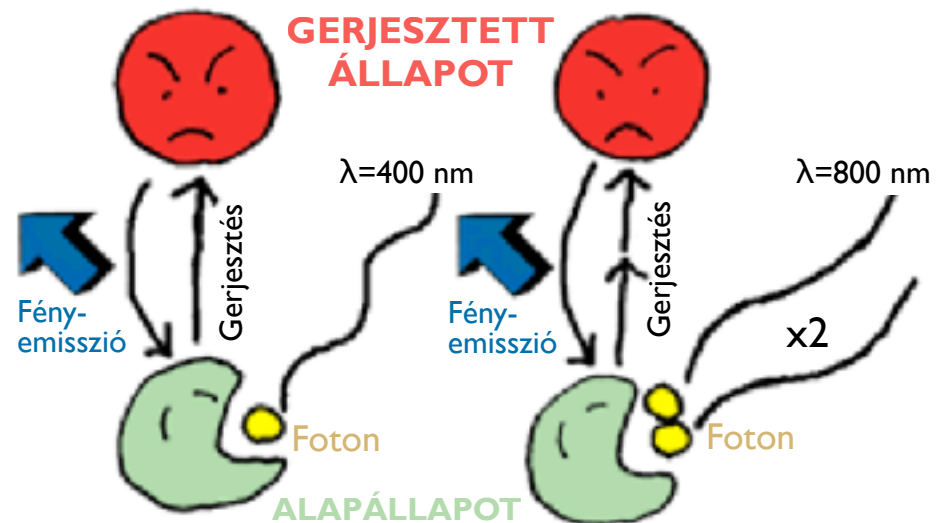


Molekuláris tetoválás:  
térben lokalizált módon fotoaktivált  
azido-blebbistatin (HeLa sejtben)



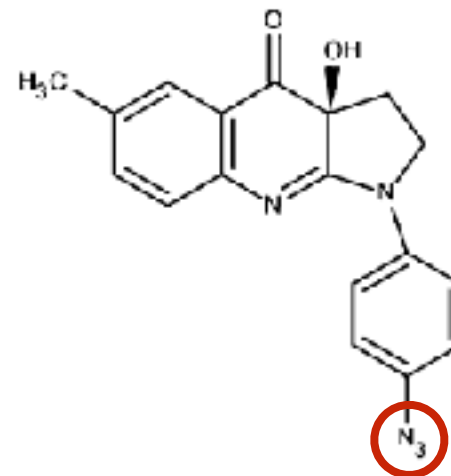
# Miozin II optofarmakológiai manipulálása

2P mikroszkópával: femtoliteres térfogatban fotokémiai reakciót indíthatunk



Egyfoton fluoreszcencia

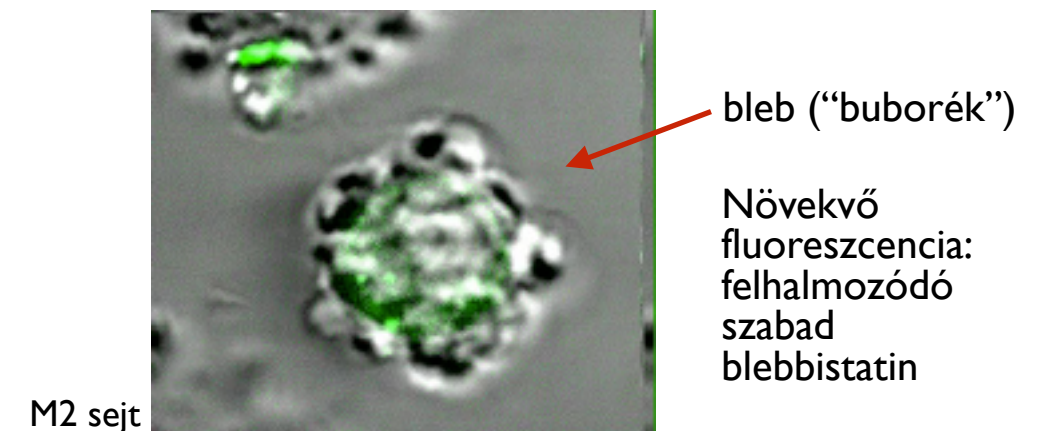
Kétfoton fluoreszcencia



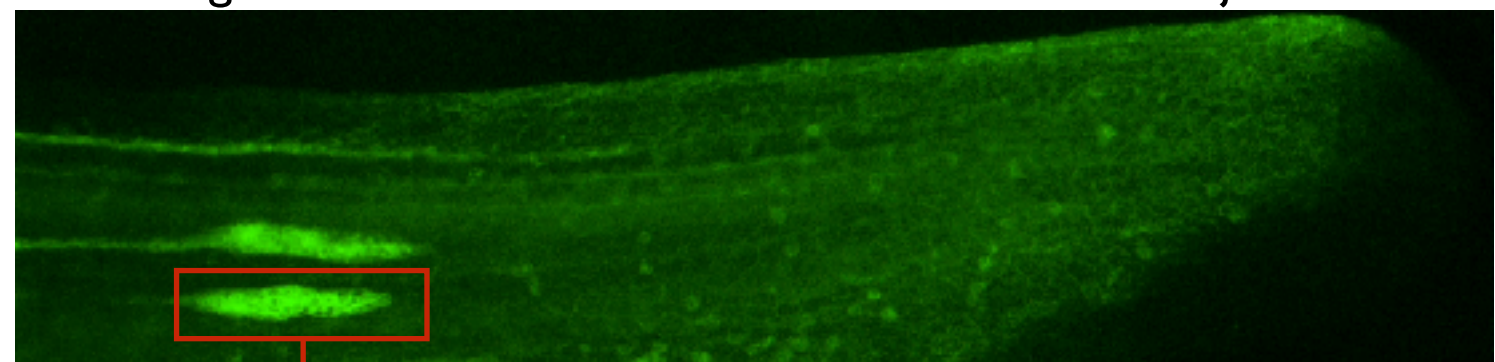
## Blebbistatin:

- Miozin II specifikus inhibitor (ADP-P<sub>i</sub> állapotban stabilizál)
- Excitáció-kontrakciót szétkapcsolja
- Azidált formája fényaktiválható, a szabad forma fluoreszkál

2P besugárzás hatására a miozin II-függő blebképződés leáll



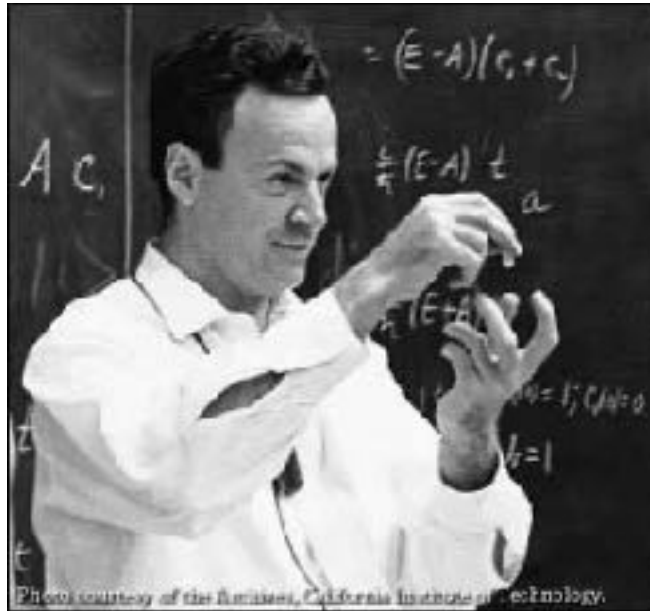
2P besugárzás hatására a zebradánió oldalvonalszerv fejlődése leáll



2P besugárzás

# Pásztázó tűszondás mikroszkópia (SPM) Atomi erőmikroszkóp (AFM)

A nanotudományok "álomműszerei"



Richard P. Feynman:  
"There is plenty of room at the bottom"  
1959. december 29.



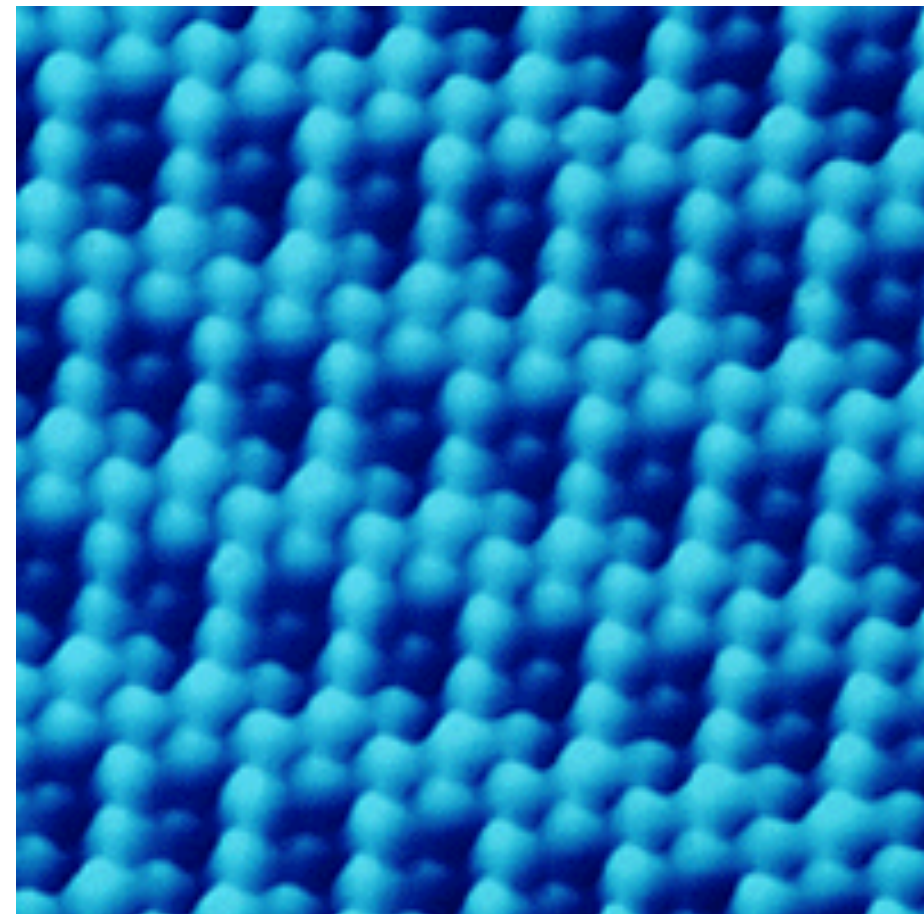
Gerd Binnig



Heinrich Rohrer

(Nobel-díj  
1986)

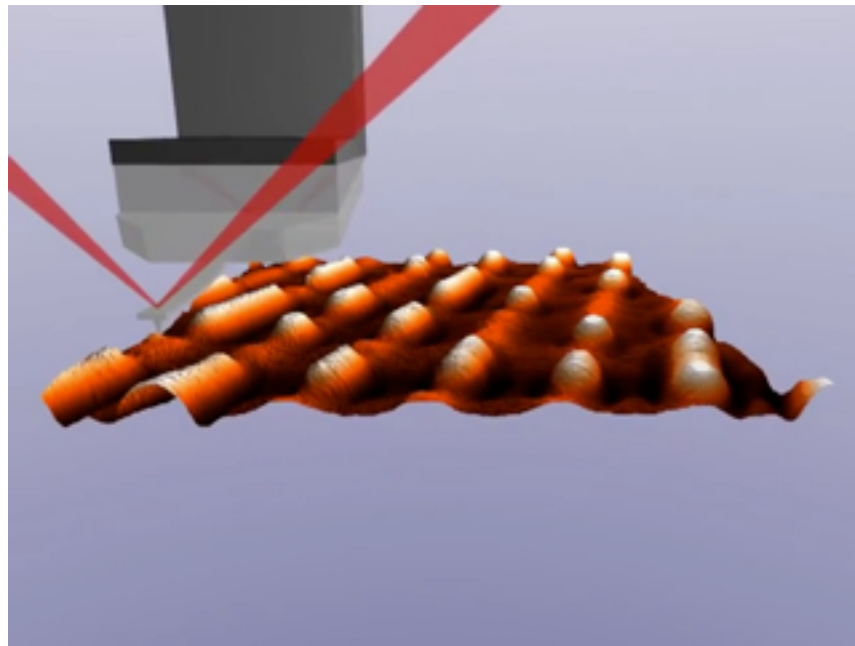
Oxigén atomok rhodium  
egy kristály felületén



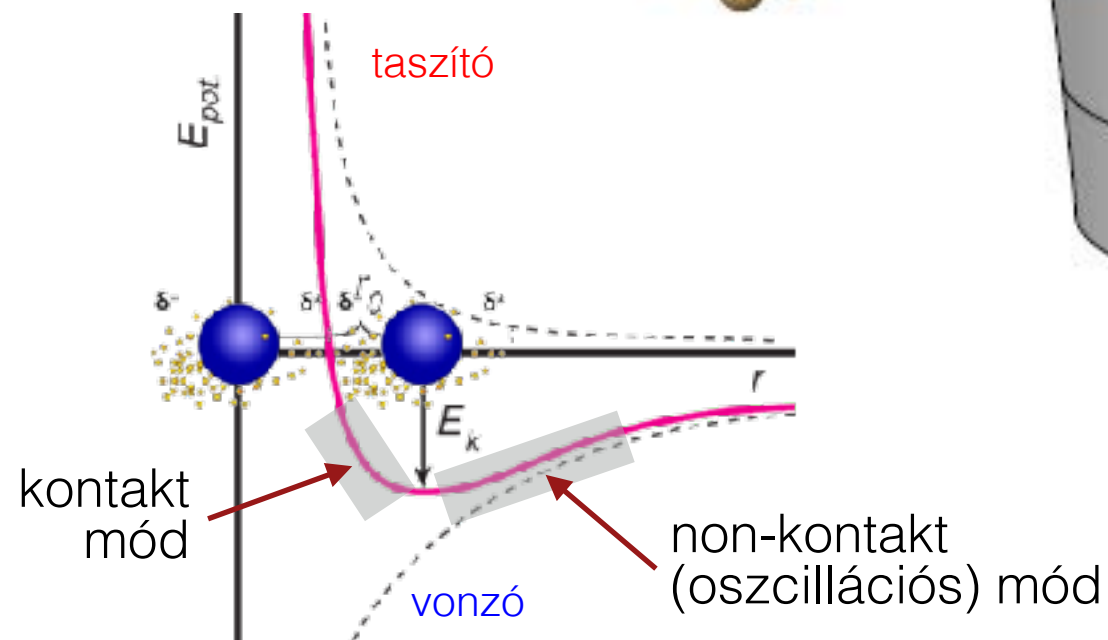
↔  
a "nanovilág" léptéke:  
1 nanométer



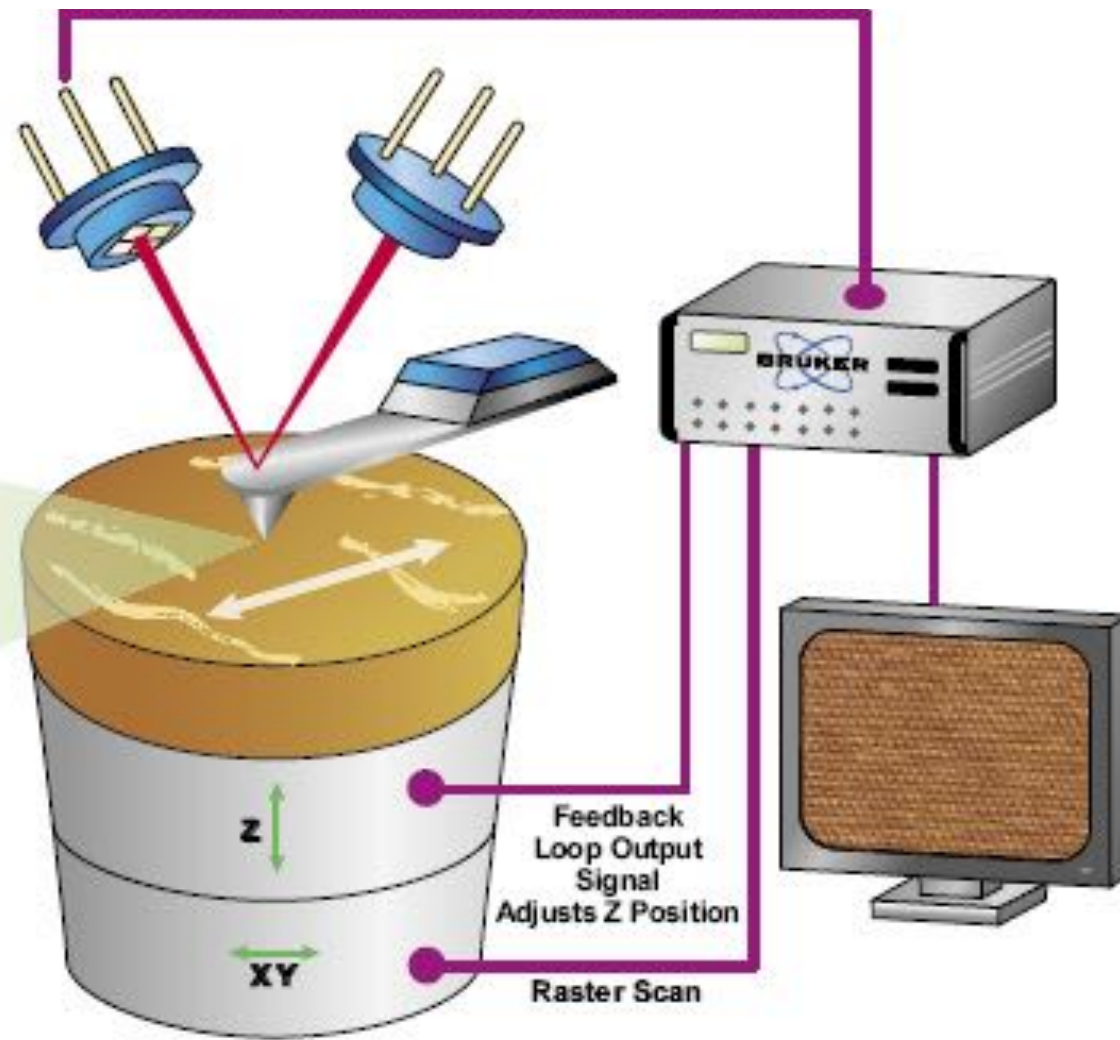
# Az atomi erőmikroszkóp (AFM)



1. Van der Waals kölcsönhatás a tű és a minta atomjai között



2. egy apró laprugó (rugólapka) elhajlását mérjük egy rávetülő lézerrel

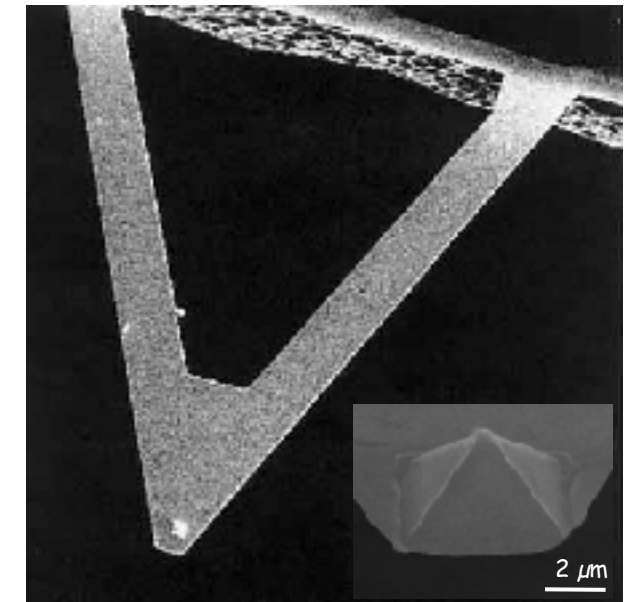
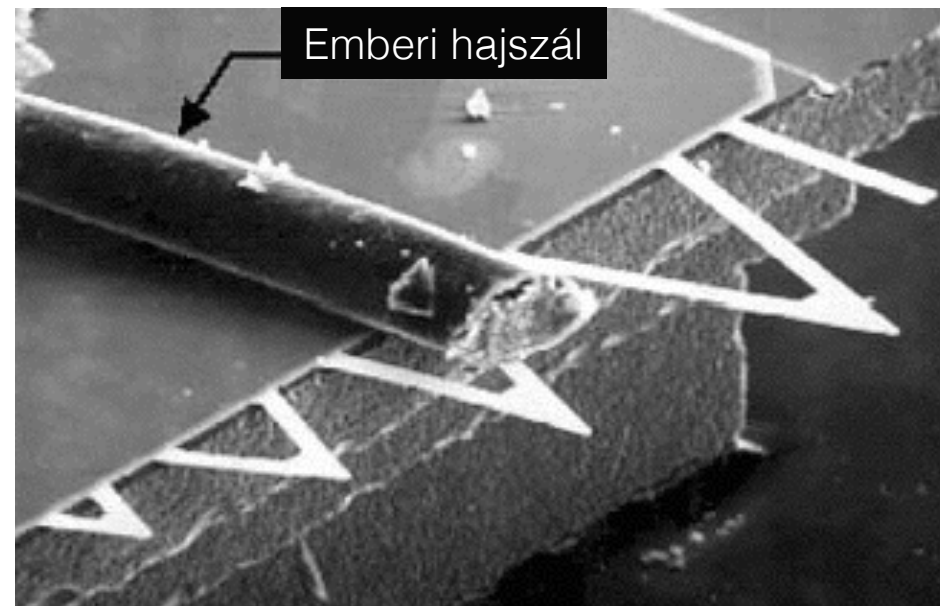
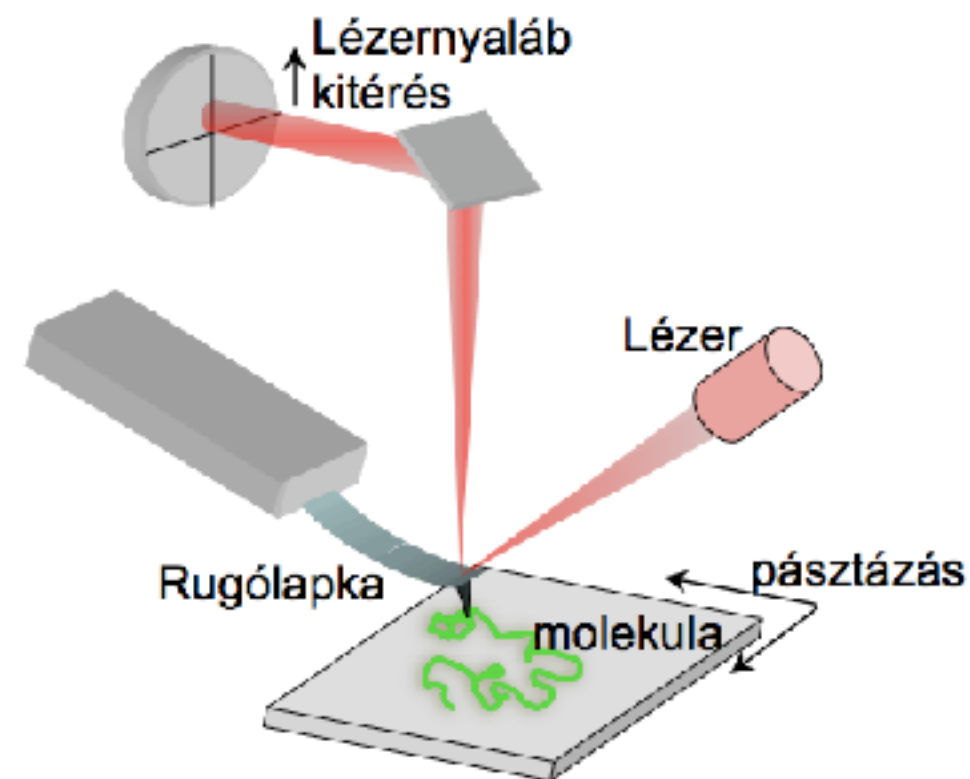


3. a mintát (vagy a rugólapkát) X-Y-Z irányokban mozgatva pásztázunk

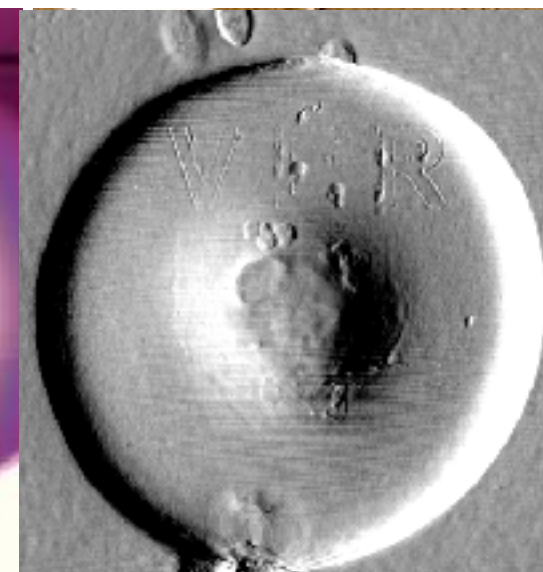


# Atomi erőmikroszkóp (AFM)

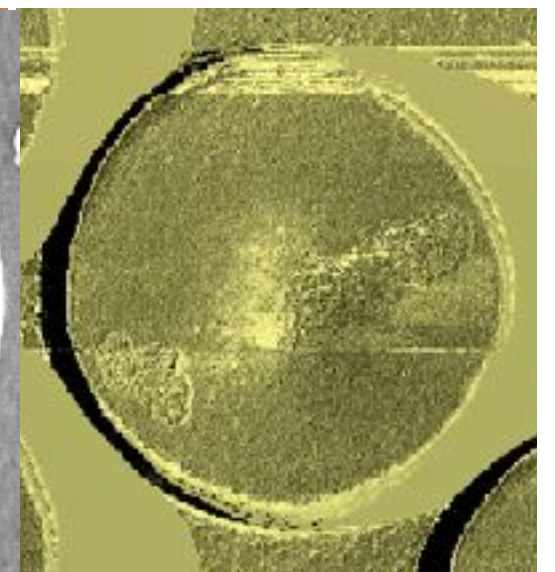
## AFM működése



Magasság kontraszt

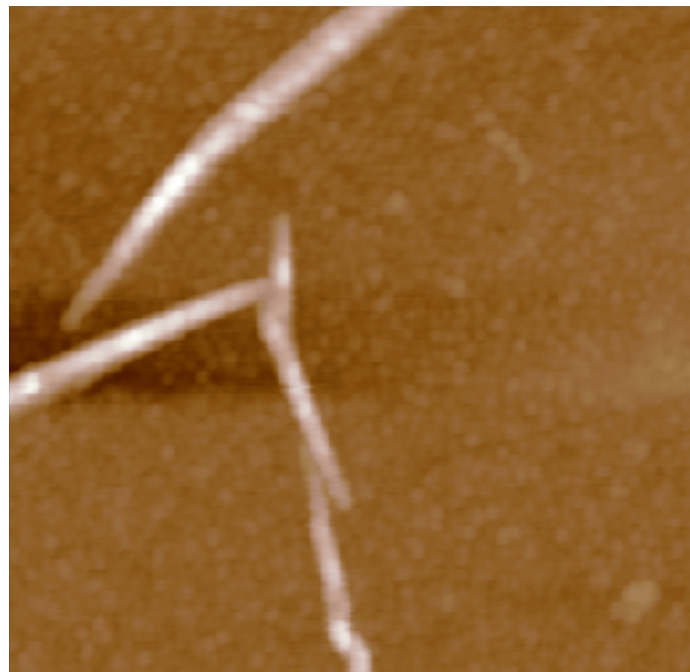


Amplitudó kontraszt

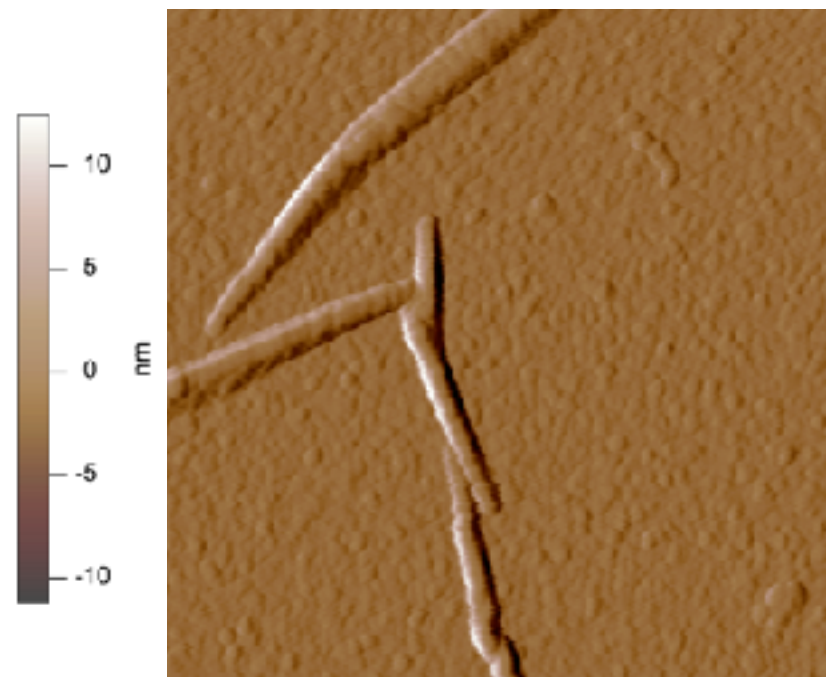


Fázis kontraszt

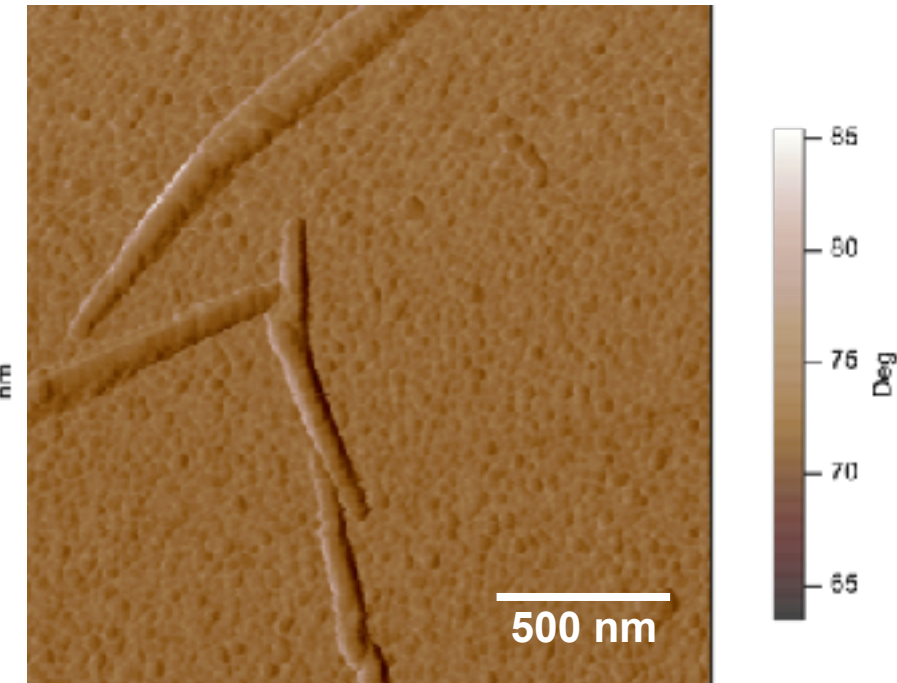
# Kontrasztmechanizmusok



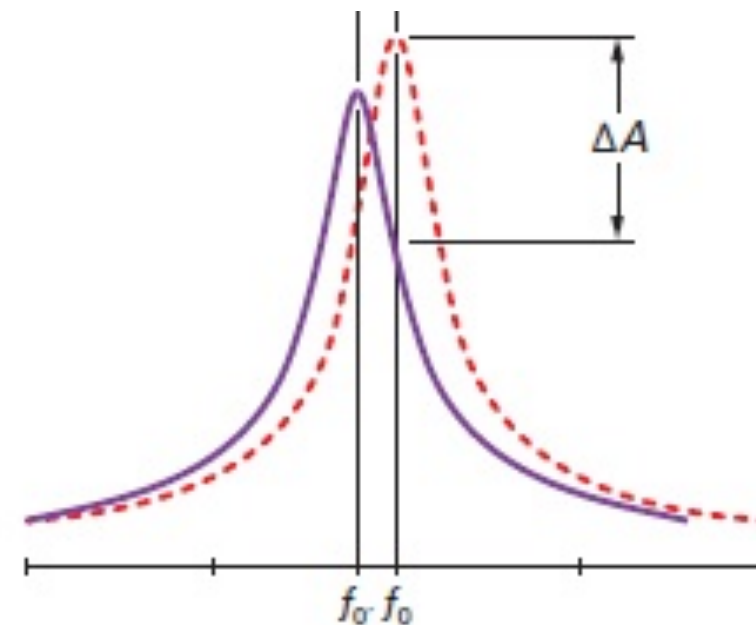
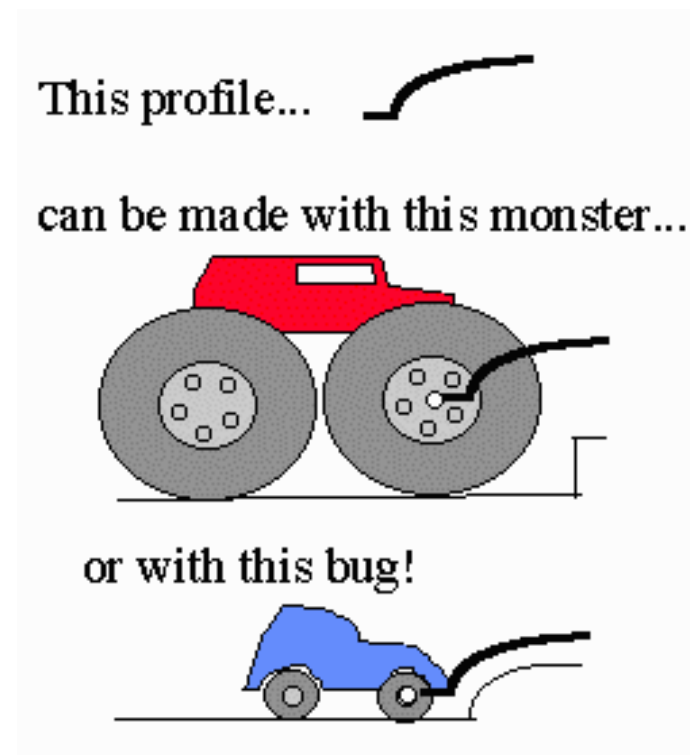
magasság kontraszt



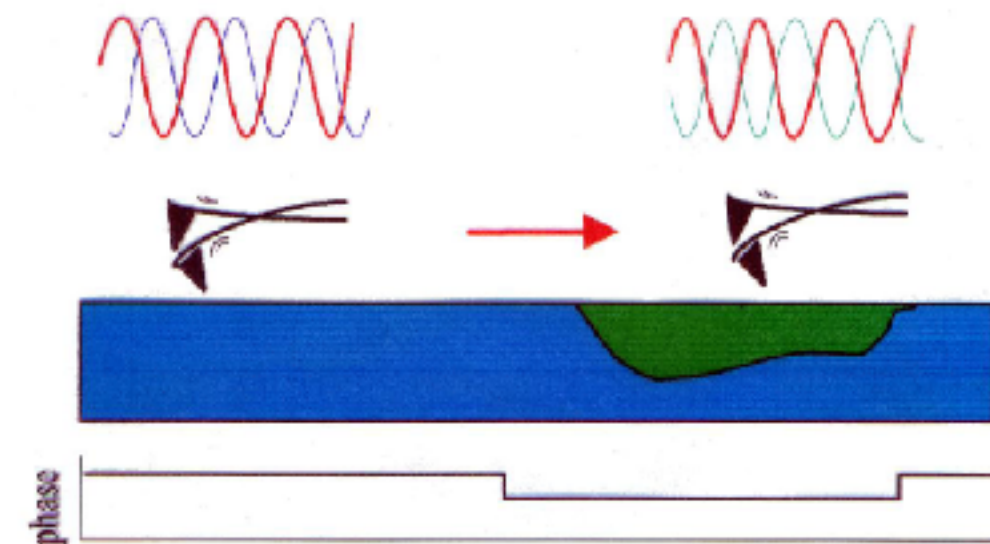
amplitúdó kontraszt



fázis kontraszt



külső erők jelenlétében  
„elhangelődő” rezonanciagörbe

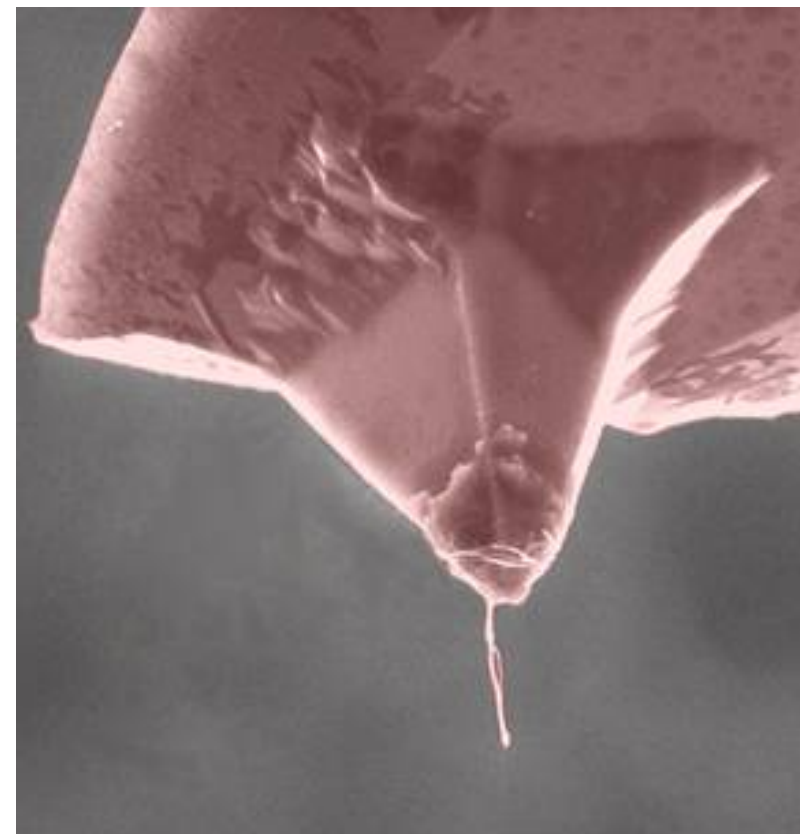
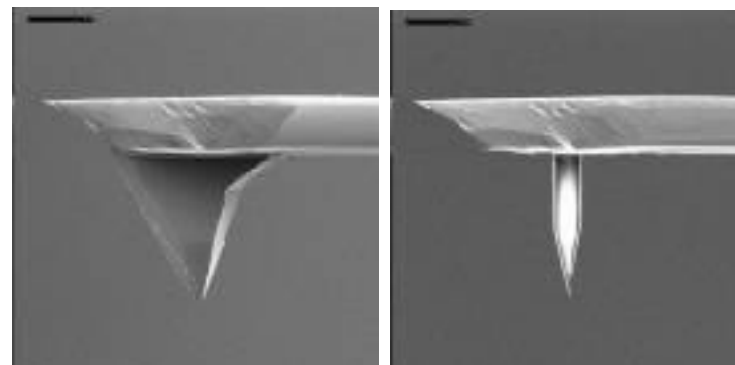
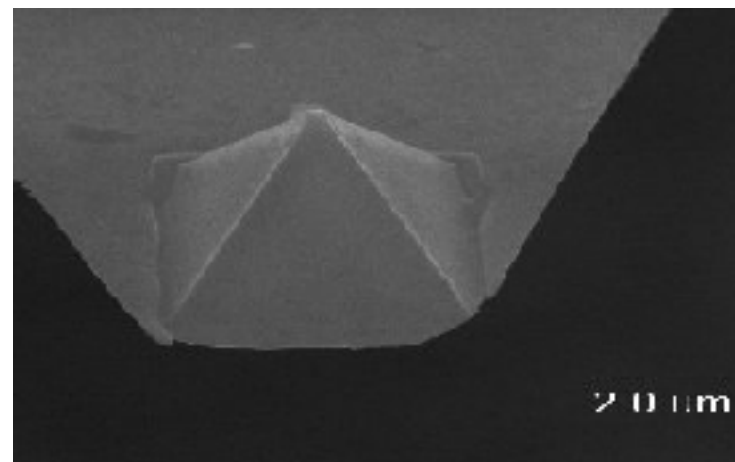
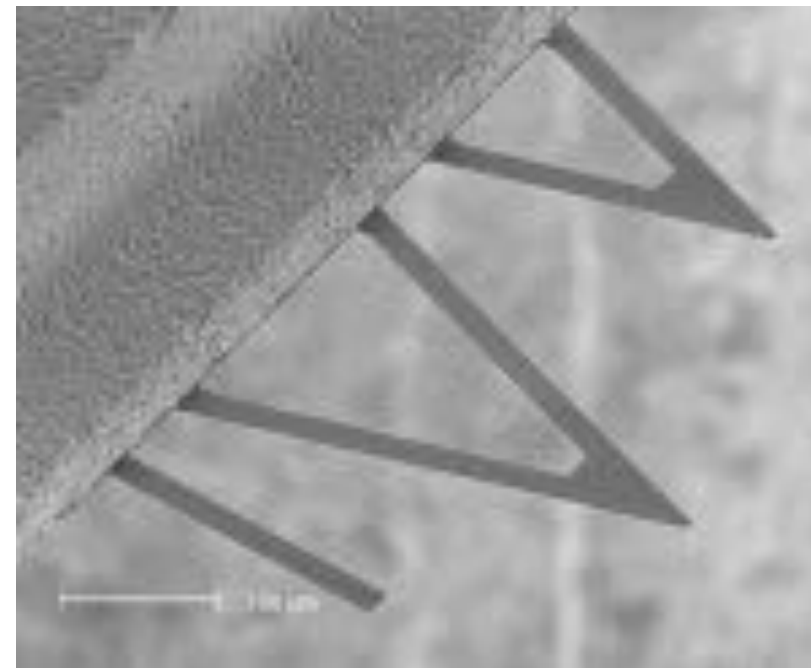
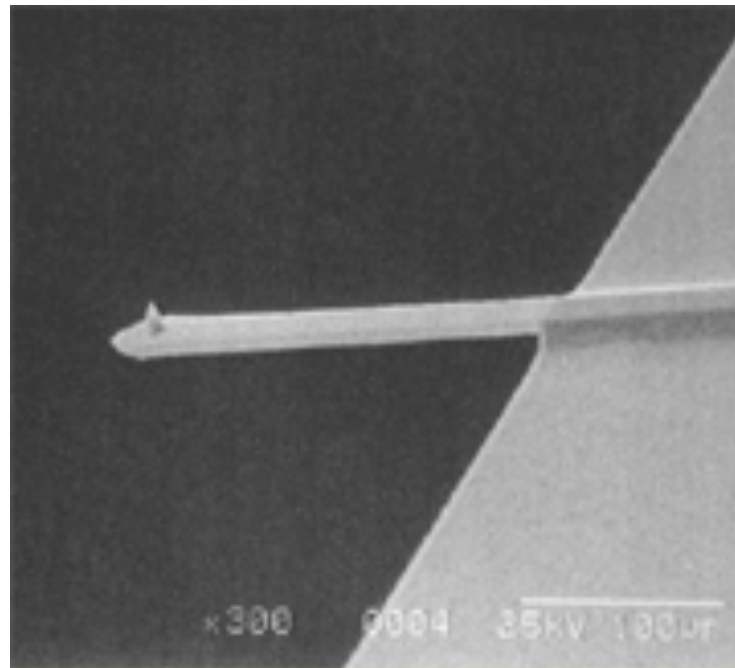


gerjesztő elektromos jel és a rugólapka  
sajátrezgésének fáziskülönbsége

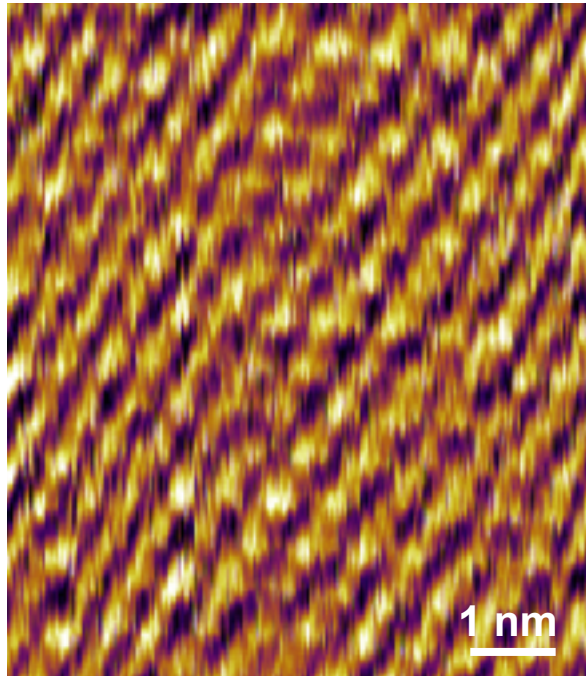


# AFM Rugólapkák és tűk

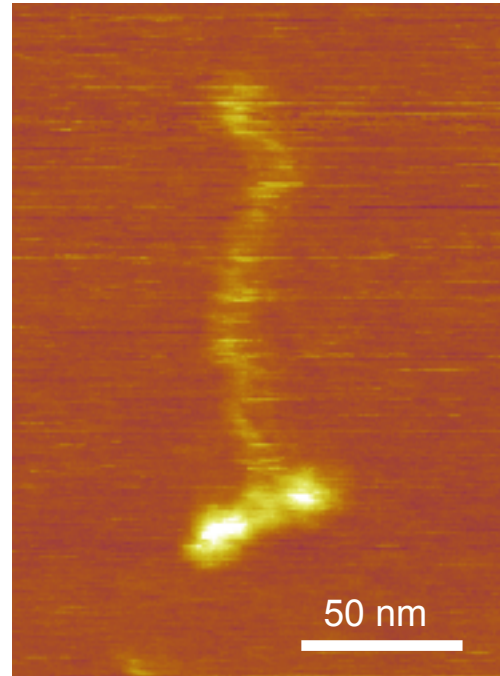
Az AFM kép térbeli feloldóképességét a tű görbületi sugara határozza meg



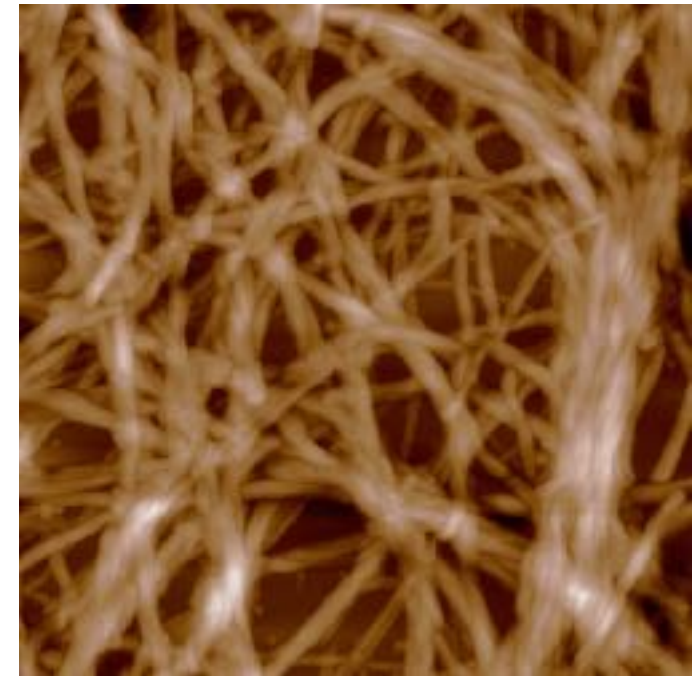
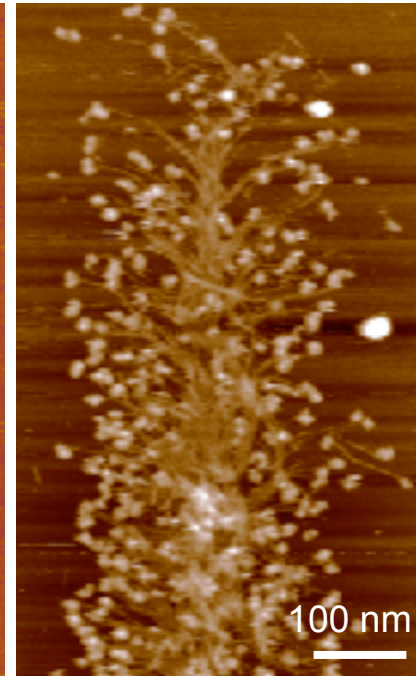
# Atomok, molekulák, komplexek AFM képe



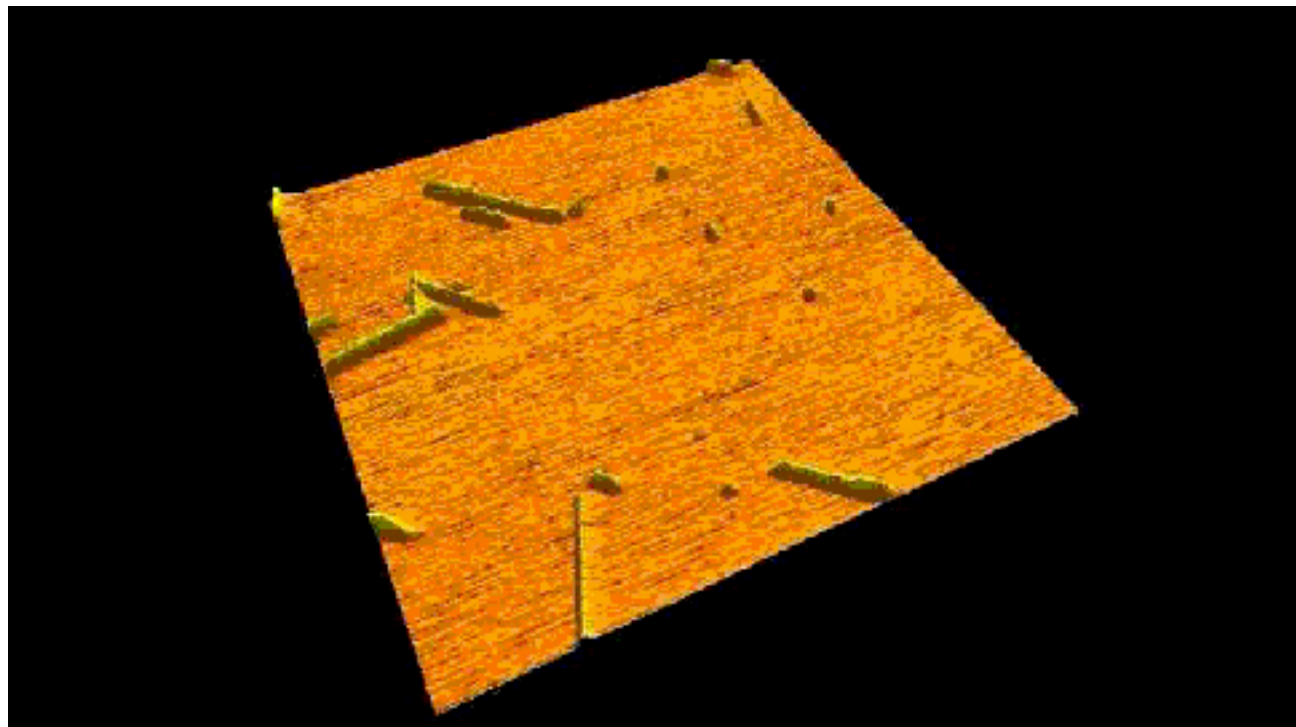
Csillám



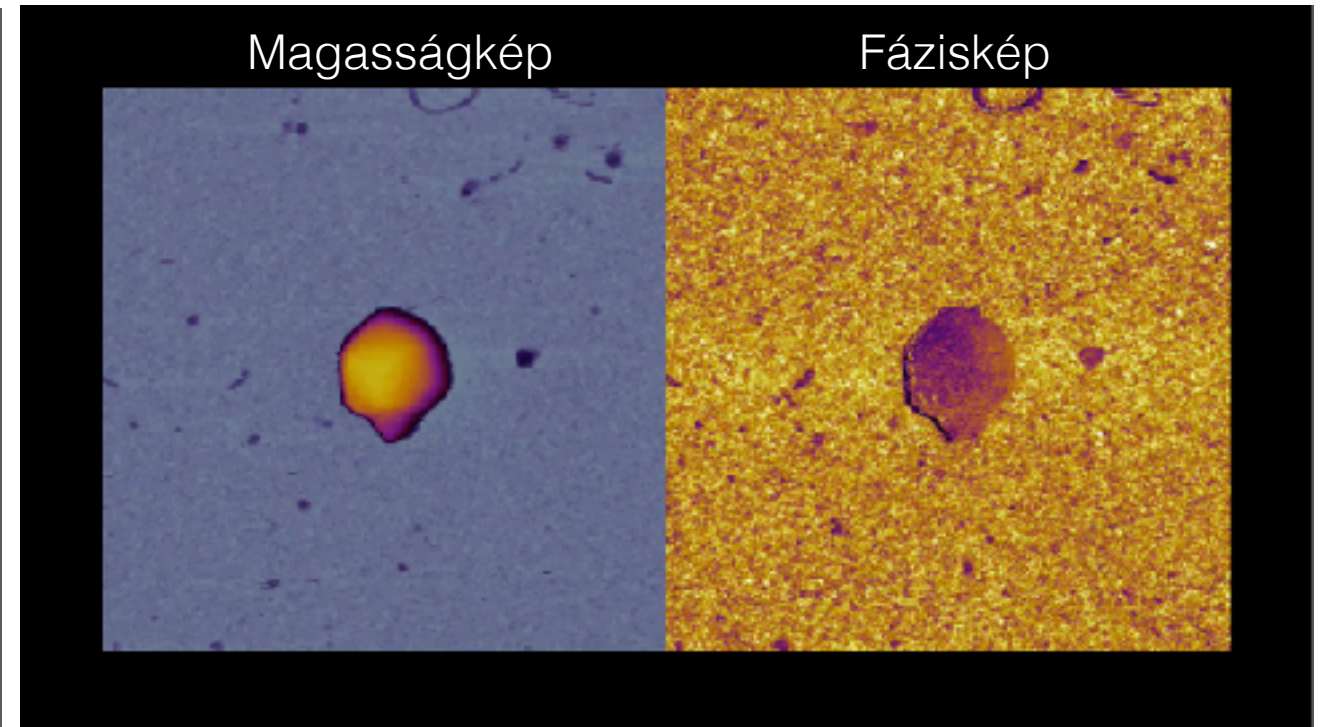
Miozinmolekula és filamentum



Amiloid  $\beta$ 1-40 fibrillumok



Amiloid fibrillumok növekedése

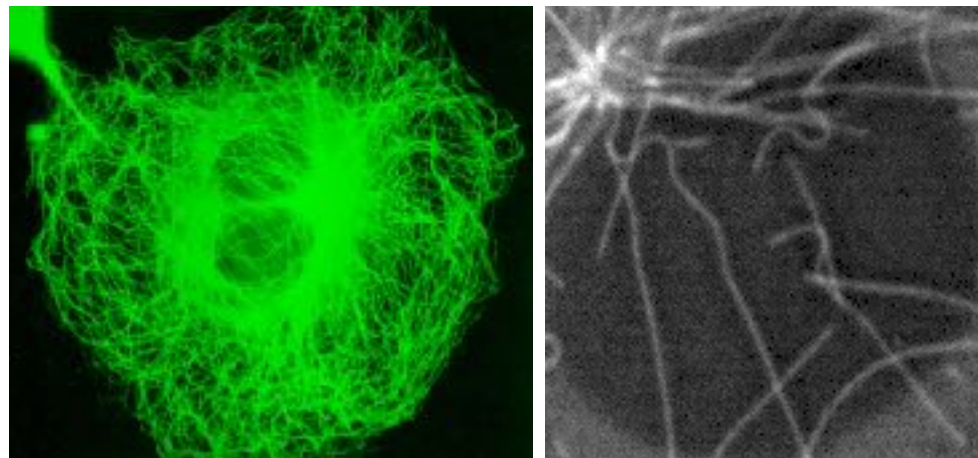


Vírus DNS kilökődése



# Molekulák - miért egyenként?

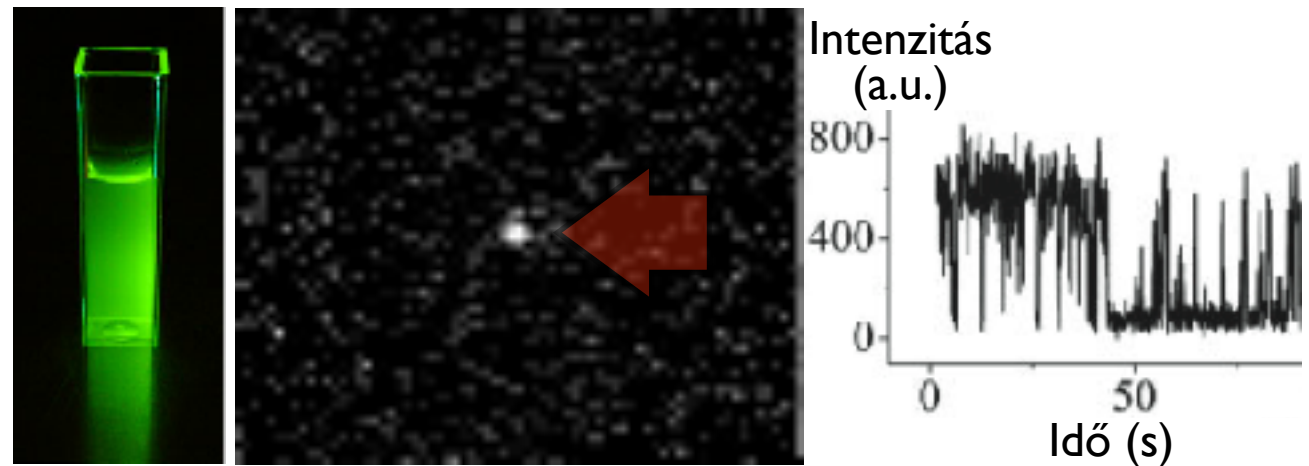
## 1. Egyéneket (tér- és időbeli trajektóriák) azonosíthatunk sokaságban



Sokaság - mikrotubuláris rendszer

Egyedi mikrotubulusok - treadmilling

## 2. Sztochasztikus folyamatokat ismerhetünk meg

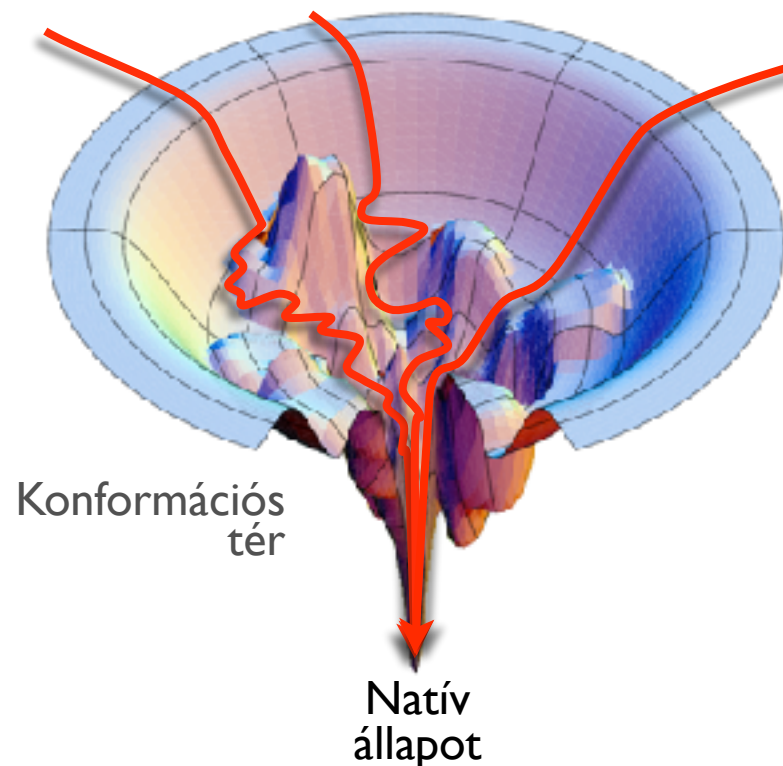


Sokaság - intenzitás

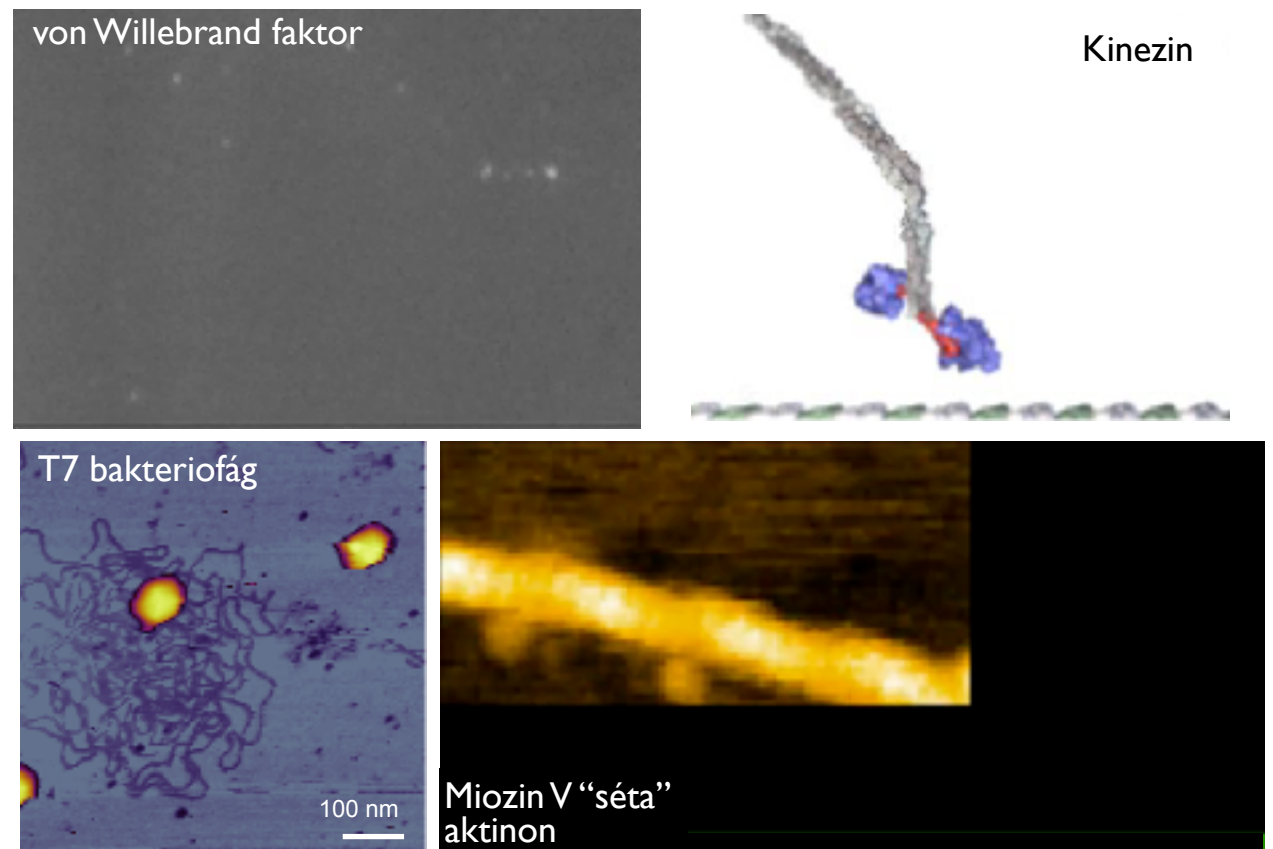
Egyedi kvantumpont - pislogás ("blinking")

## 3. Párhuzamos útvonalakon zajló folyamatokat azonosíthatunk

Kigombolyodott állapot



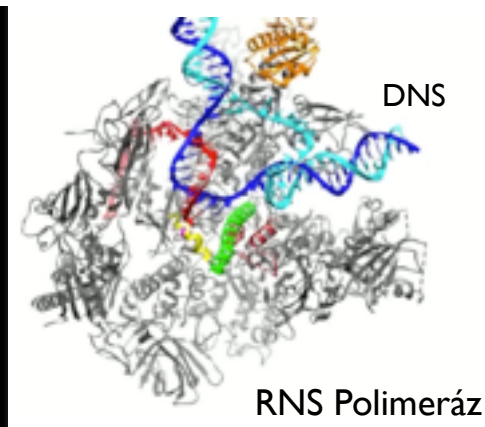
## 4. Biomolekulák mechanikáját jellemezhetjük



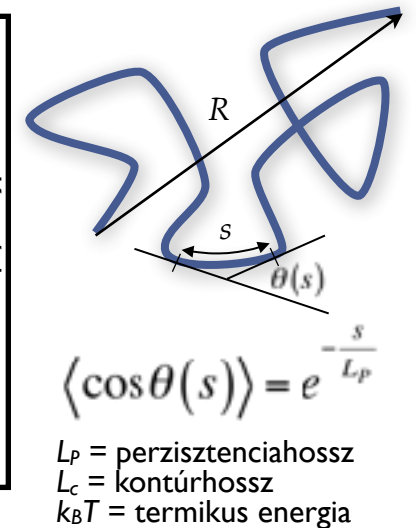
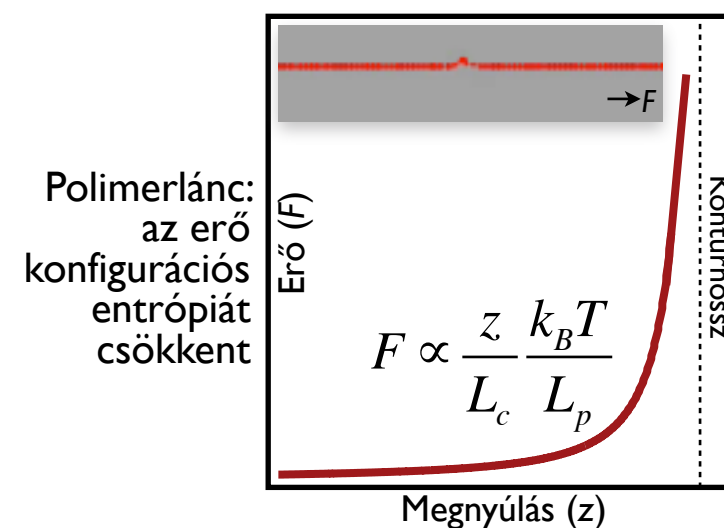
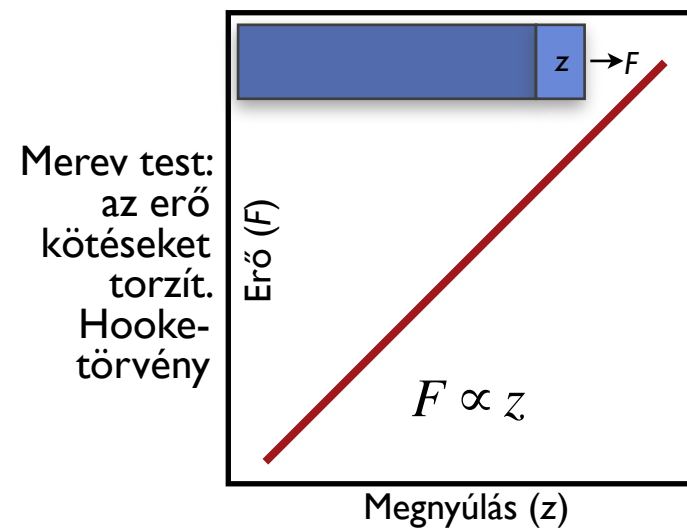


# A mechanikai erő...

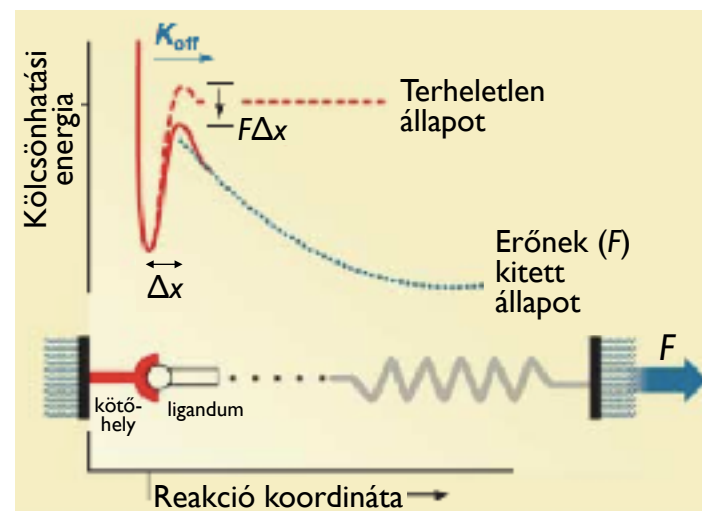
1) kifejlődik:



2) deformálja a szerkezetet:



3) kötések szakít fel:

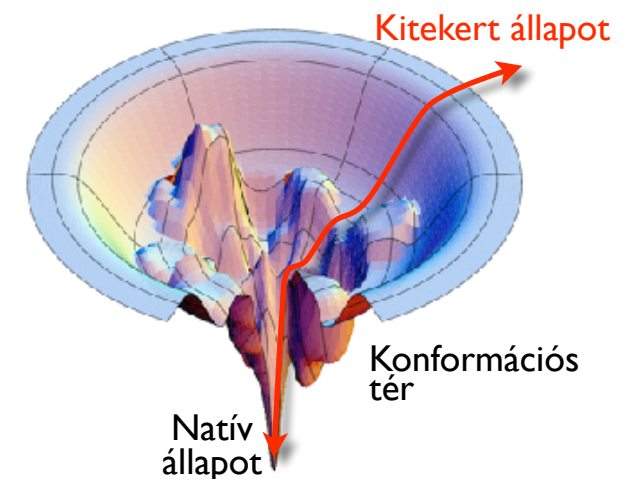


Terhelt kötés élettartama csökken:

$$\tau(F) = \omega e^{\frac{E_a - F\Delta x}{k_B T}}$$

$\omega$  = karakterisztikus idő  
 $E_a$  = aktivációs energia  
 $\Delta x$  = távolság a kötött és tranzíciós állapotok között

Kötés	Kovalens	H-híd, elektrosztatikus
Szakítási erő	~nN	~néhány 10 pN

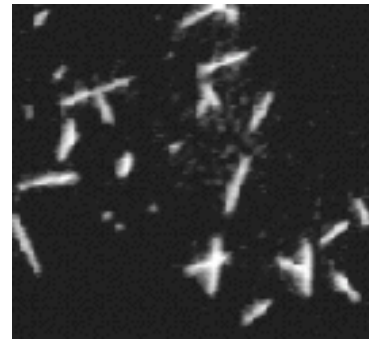


# A polimerlánc egyensúlyi alakja és rugalmassága összefügg

Merev lánc

$$l_p \gg L$$

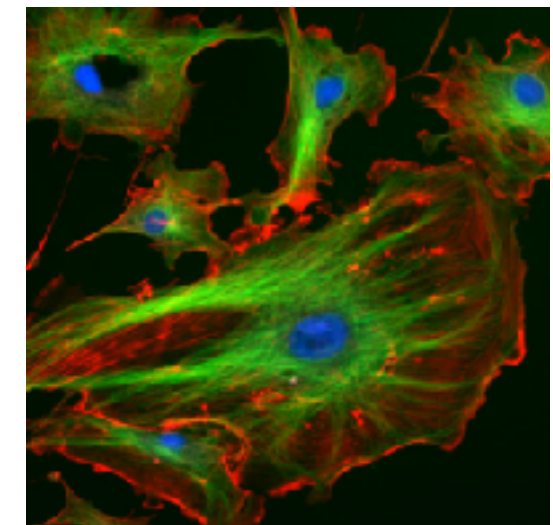
Mikrotubulus



Szemiflexibilis lánc

$$l_p \approx L$$

Mikrofilamentum

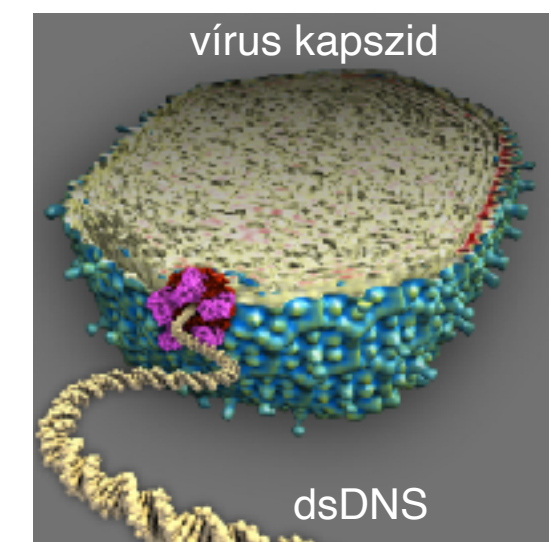
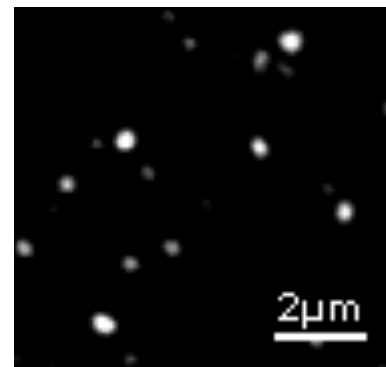
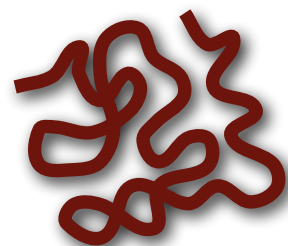


aktin  
tubulin

Flexibilis lánc

$$l_p \ll L$$

DNS



$l_p$  = perzisztenciahossz  
 $L$  = kontúrhossz

# A polimerlánc erővel kinyújtható

$$F \propto \frac{R}{L} \frac{k_B T}{l_P}$$

$F$  = erő

$l_P$  = **perzisztenciahossz**

$k_B$  = Boltzmann állandó

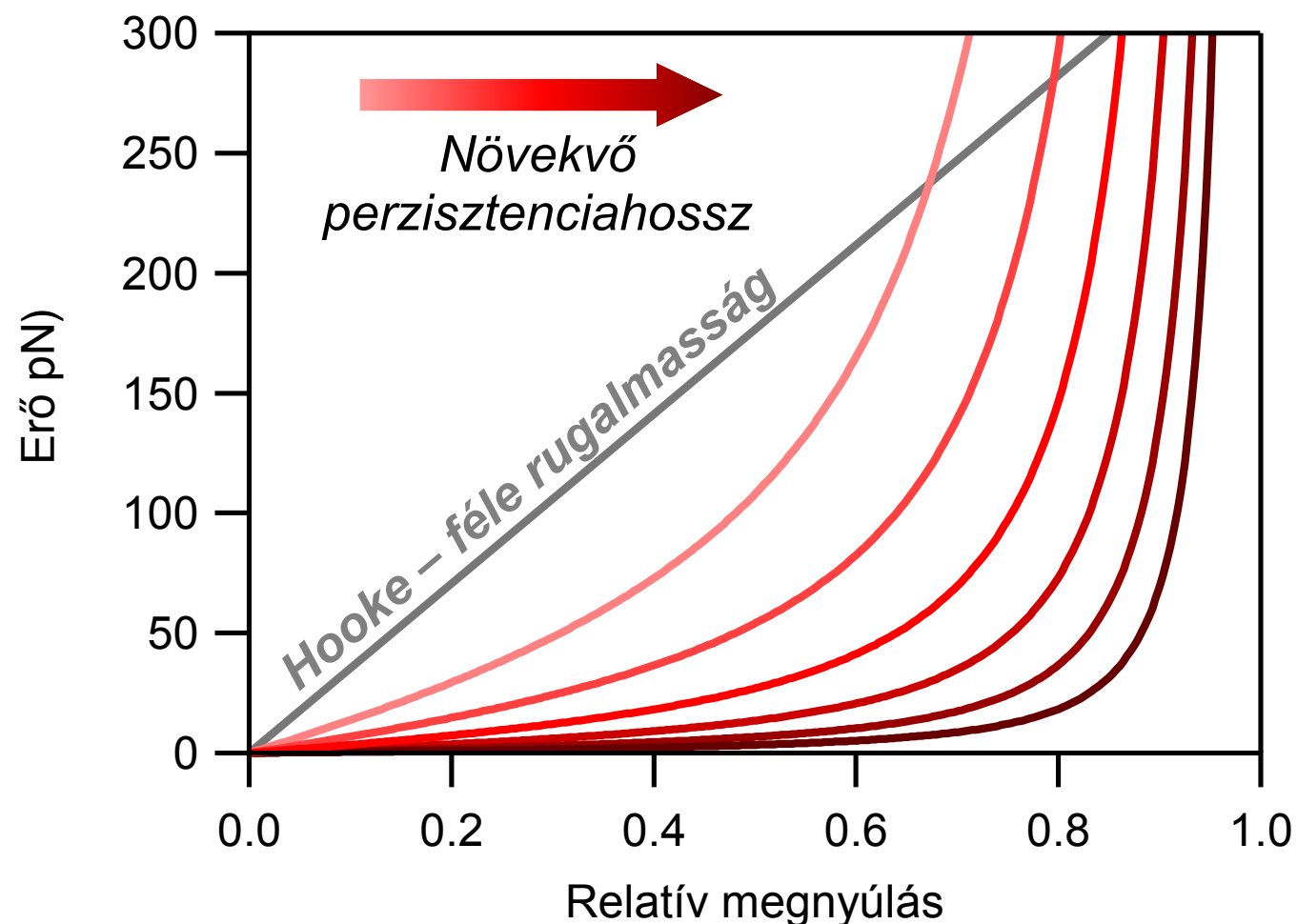
$T$  = abszolút hőmérséklet

$L$  = kontúrhossz

$R$  = vég-vég hossz

$R/L$  = relatív megnyúlás

## Nemlineáris erőválasz

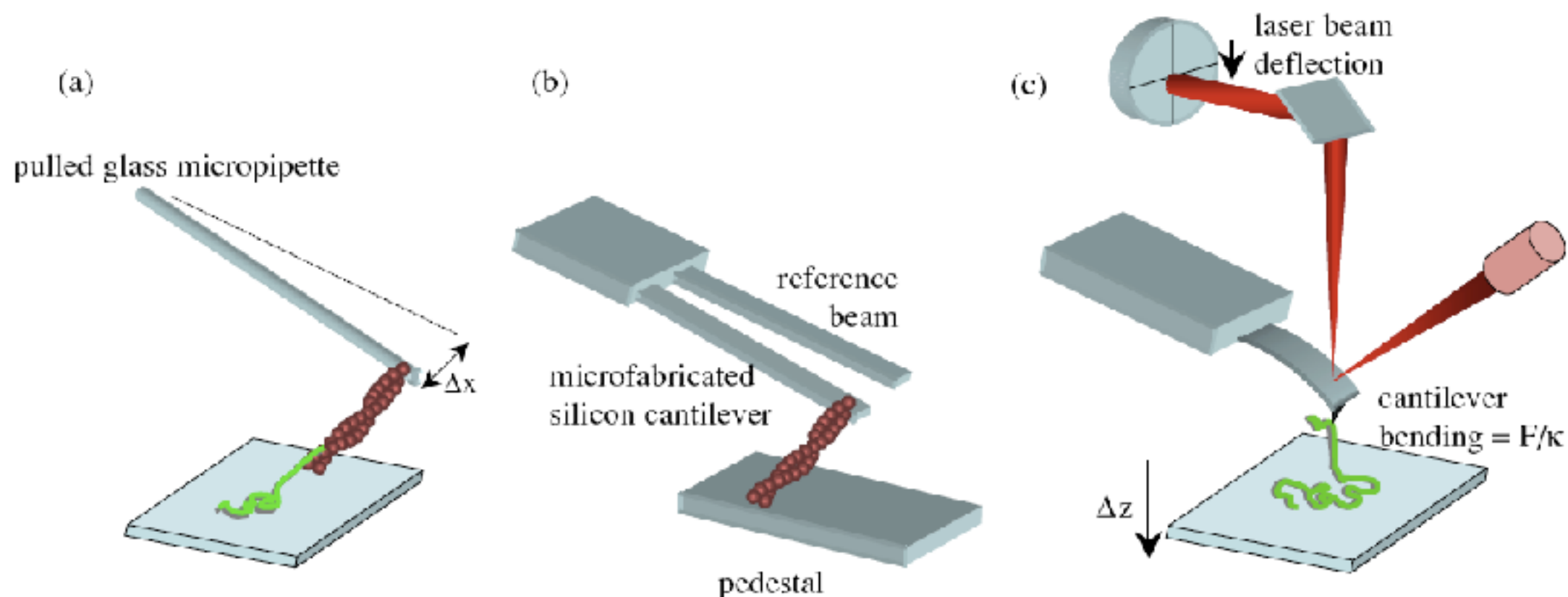


## Gough-Joule effektus

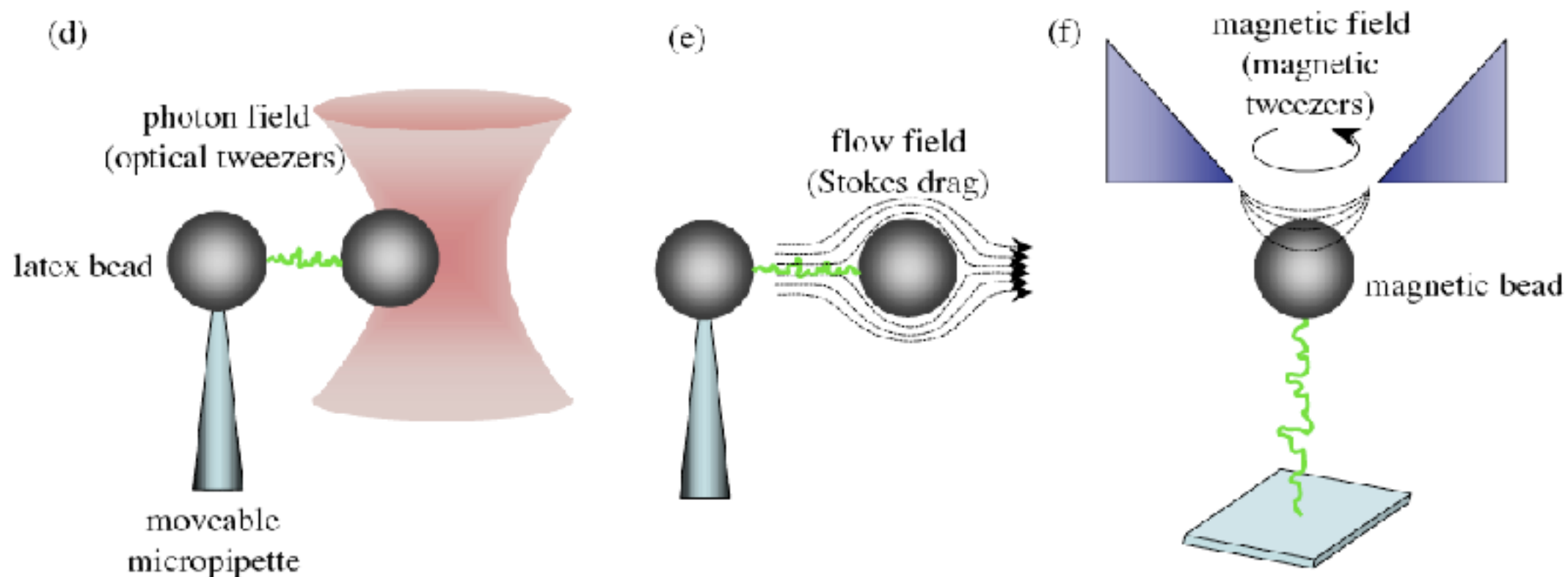


# Egyedi molekulák manipulálása

Laprugó  
módszerek:



Mező alapú  
módszerek:





# Különleges mikroszkóp alkalmazás: lézercsipesz

Einstein:  
tömeg-energia  
ekvivalencia

$$E = mc^2$$

Planck:  
sugárzási  
törvény

$$E = hf$$

Maxwell:  
fény terjedési  
sebessége

$$c = \lambda f$$



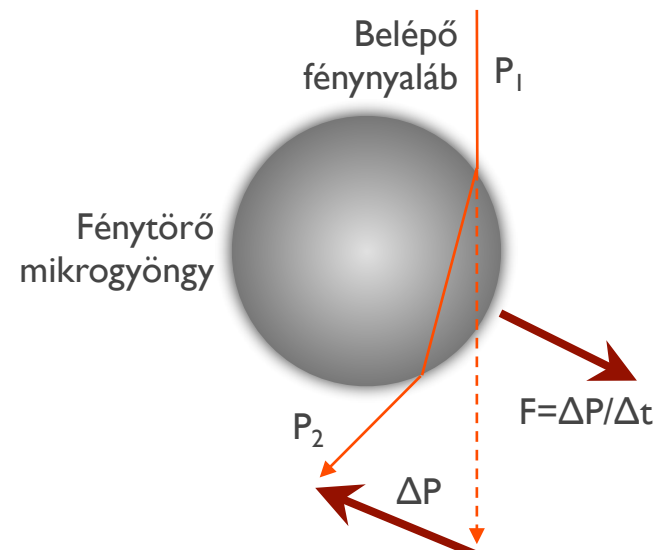
Louis-Victor-Pierre-Raymond, 7th duc de Broglie (1892-1987)

$$mc^2 = h \cdot \frac{c}{\lambda}$$

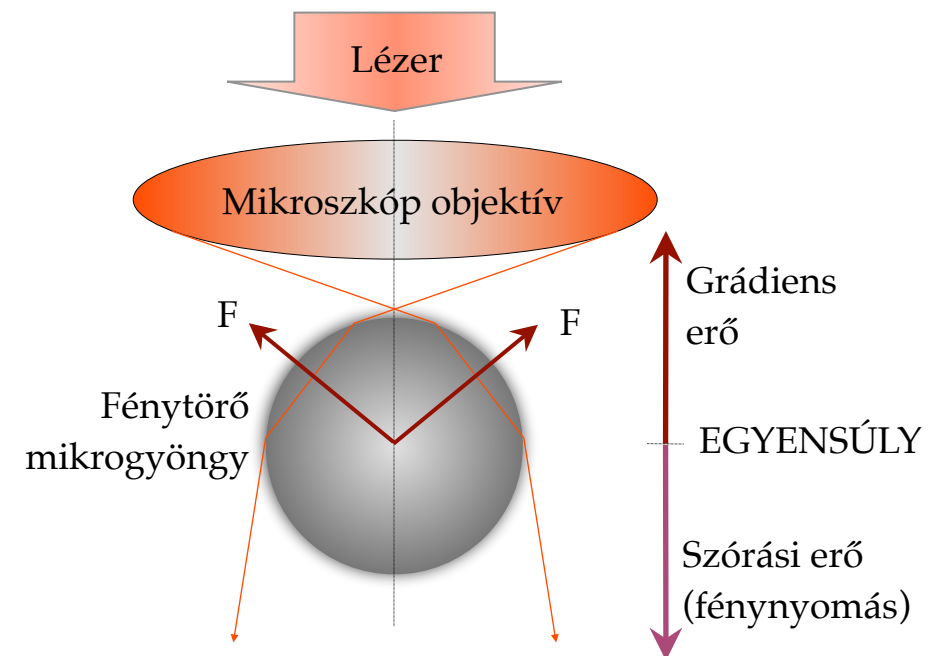
A foton impulzusa:

$$P = \frac{h}{\lambda}$$

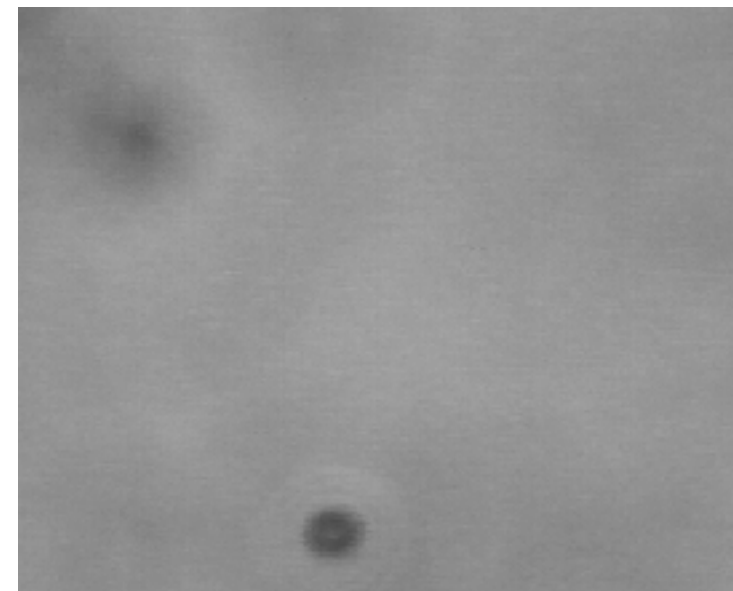
A refrakció fényimpulzus-változással ( $\Delta P$ ) jár:



Fénytörő részecskék "optikai erőkkel" megfoghatók:



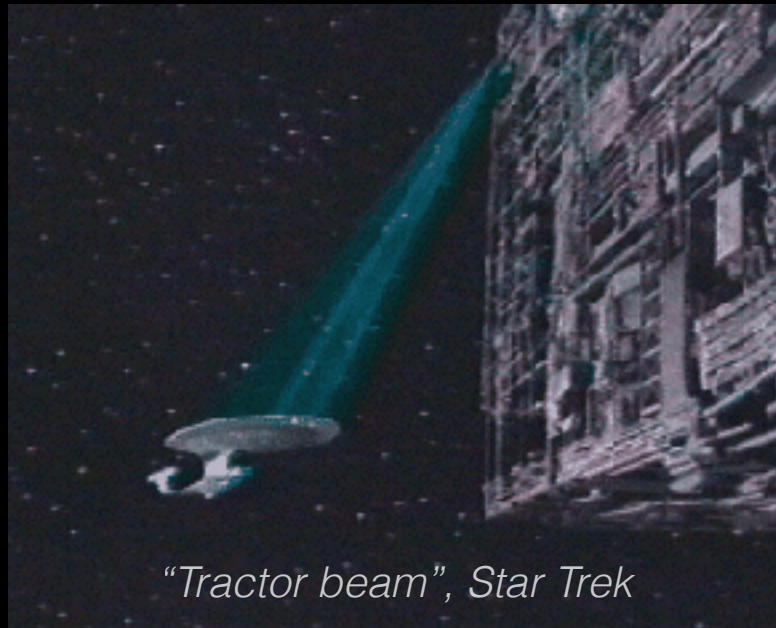
Az **optikai csipeszben** a fotonok és a fénytörő részecske között **impulzuscsere** lép fel



3  $\mu\text{m}$  átmérőjű latex (polistírol) mikrogöngyök optikai csipeszben



# Biomolekula manipulálás fénnnyel



*E. coli* baktériumsejt

Aktin  
filamentum

DNS



Fáziskontraszt kép

Fluoreszcencia kép



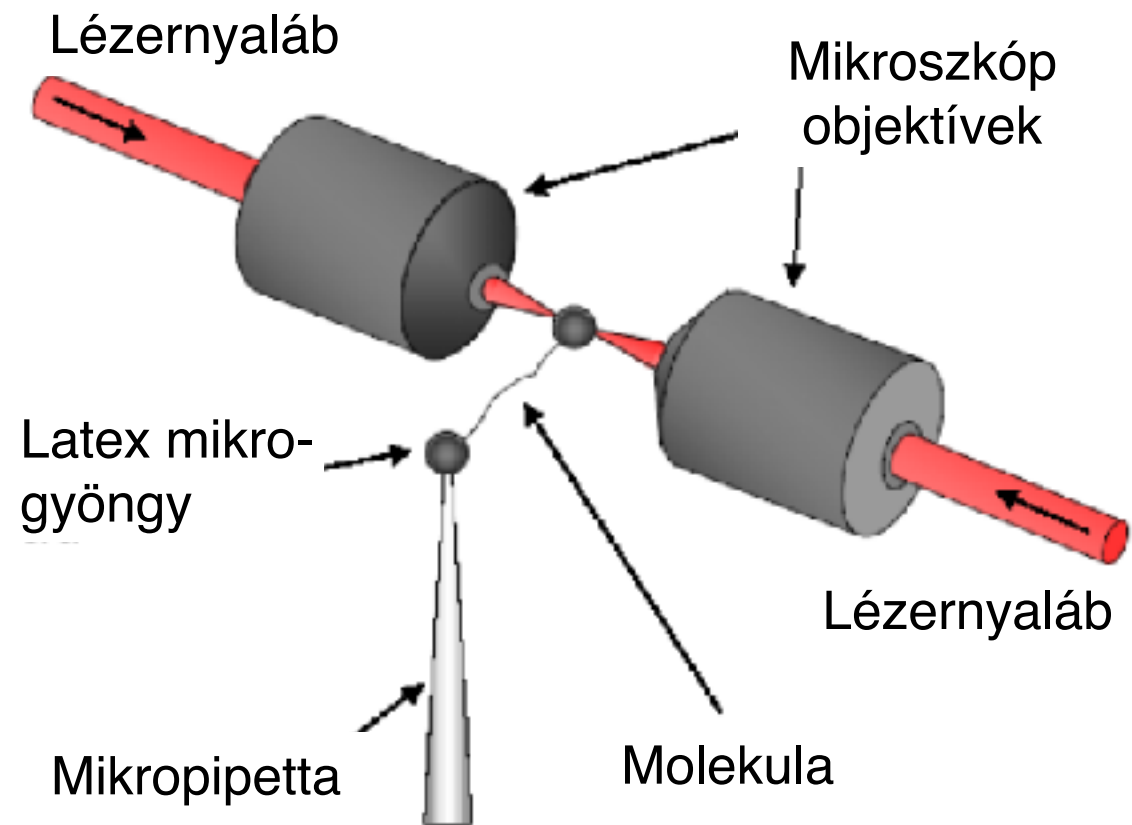
# MOLEKULA - FOGANTYÚ GEOMETRIA

mikrogyöngy ~ 1  $\mu\text{m}$

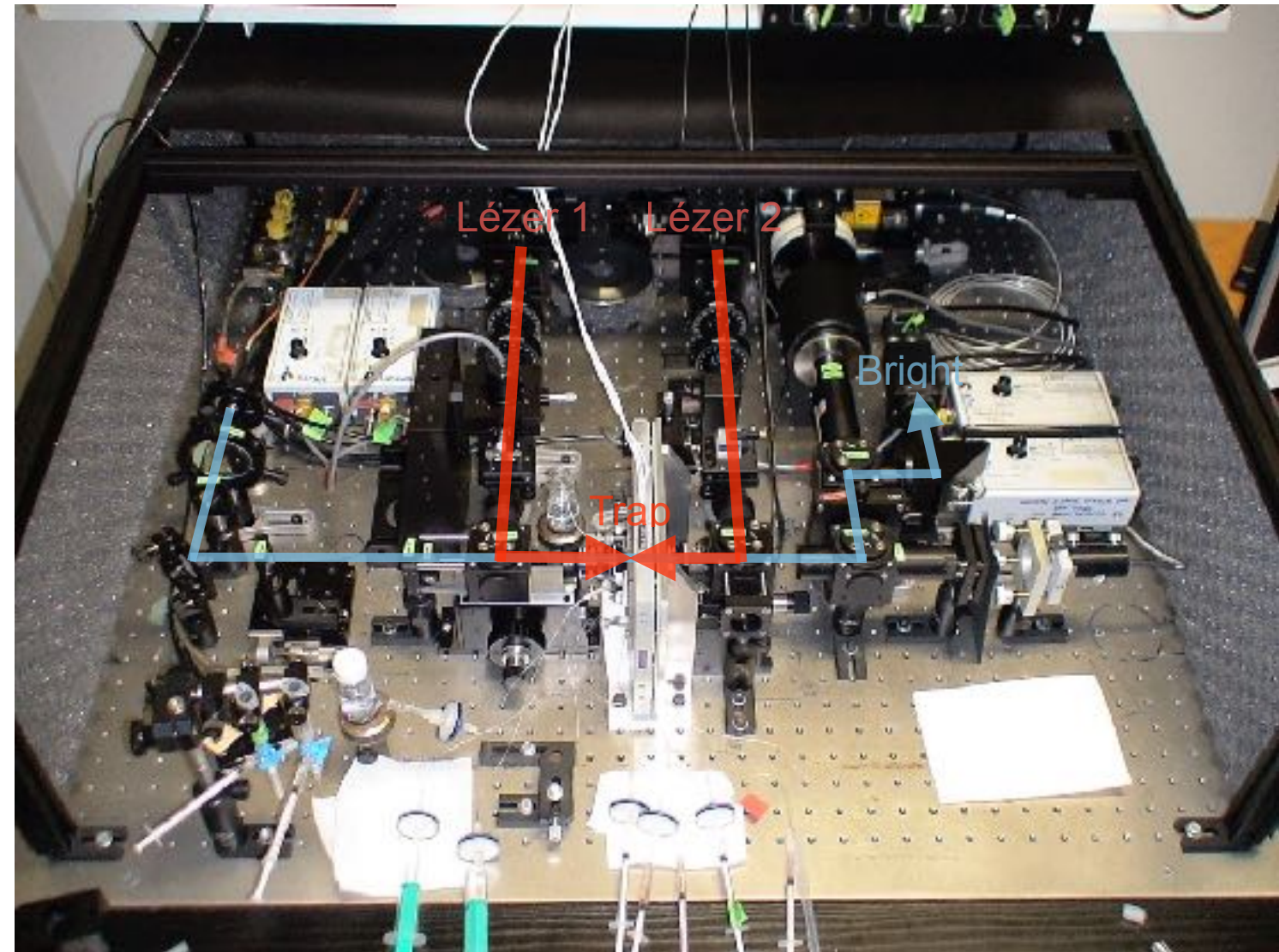


molekula ~ 10 nm

# A lézercsipeszel erőt is lehet mérni



*Két lézersugaras optikai csipesz berendezés*

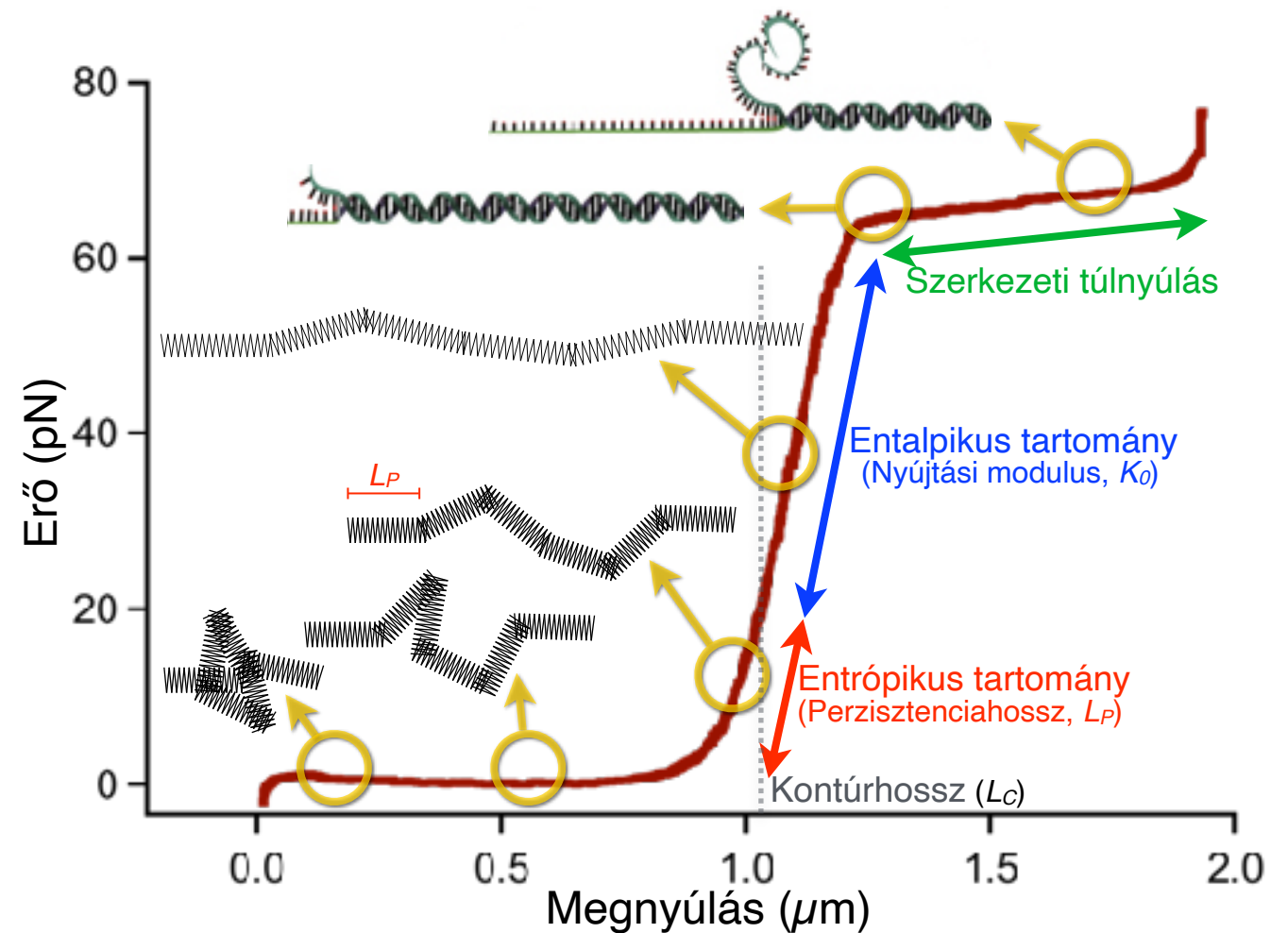
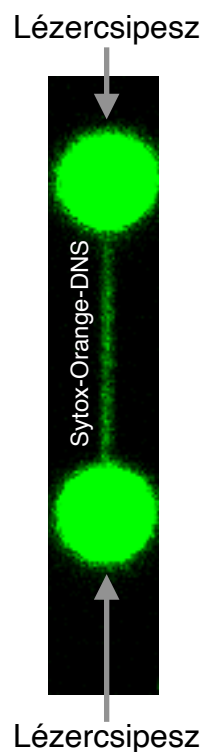
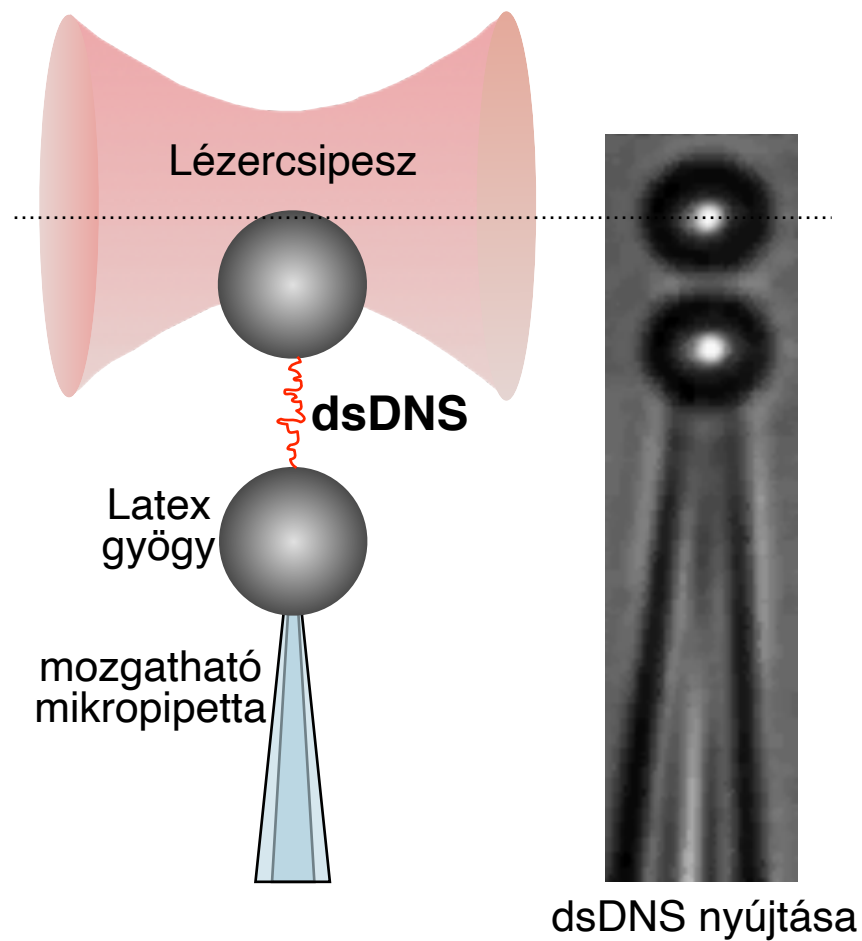


## Erőkalibráció

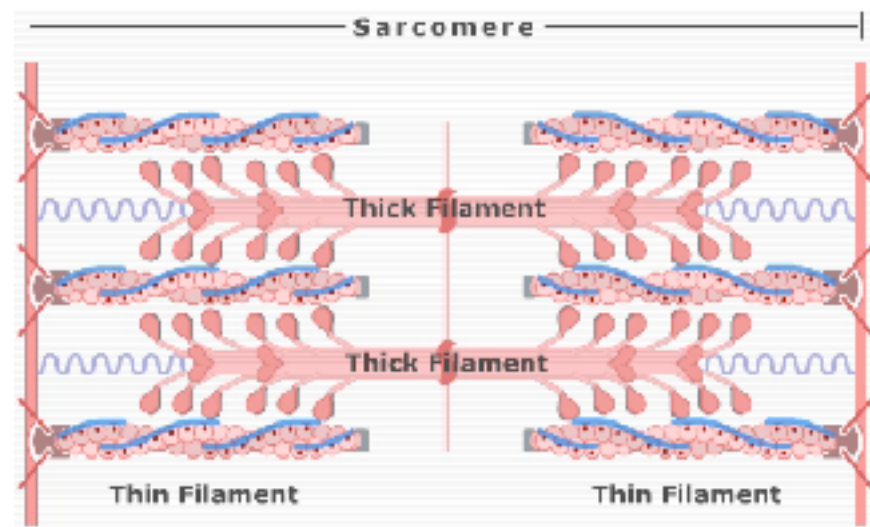
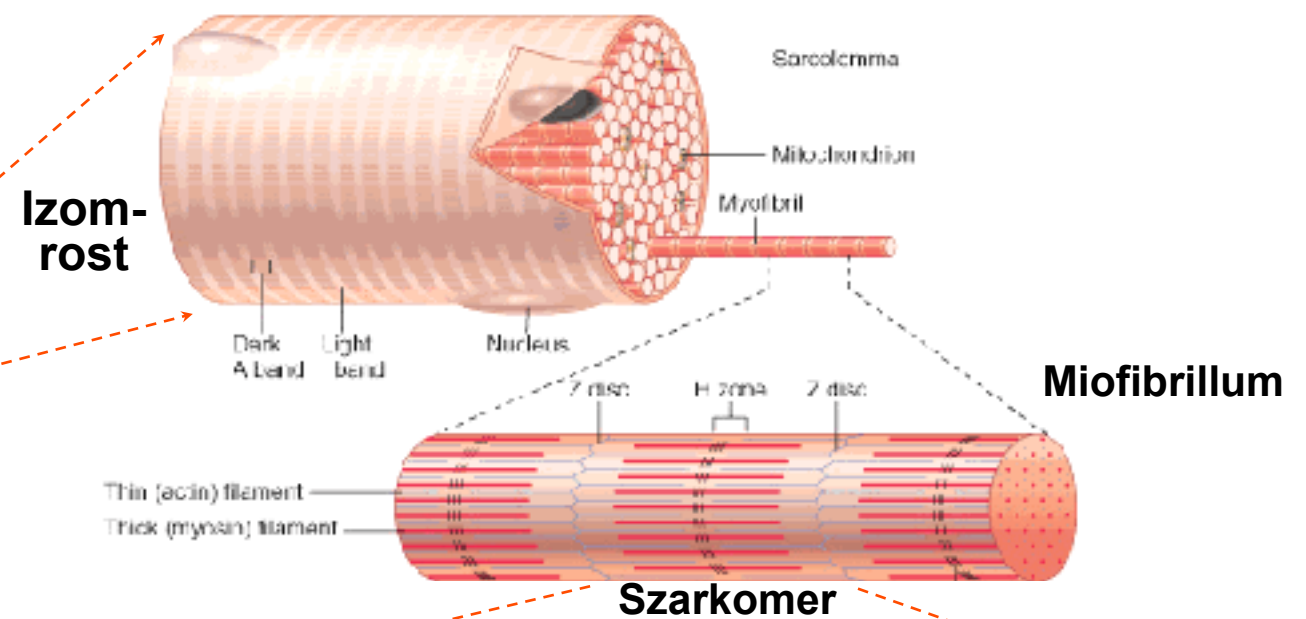
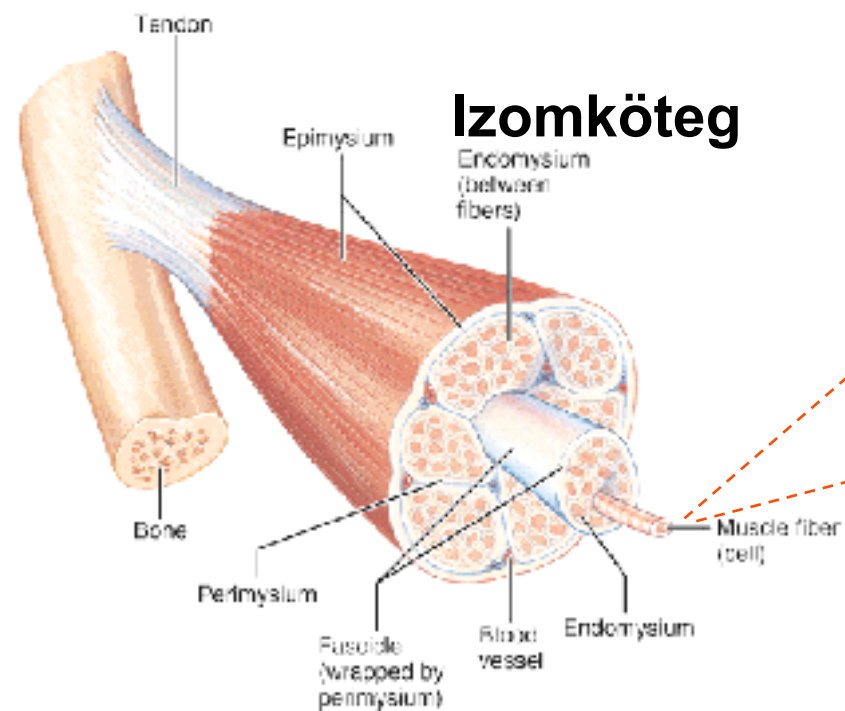
- Fényimpulzus-változás közvetlen megmérése
- Ismert erővel való kalibrálás (Stokes erő)
- Ekvipartíció tétele



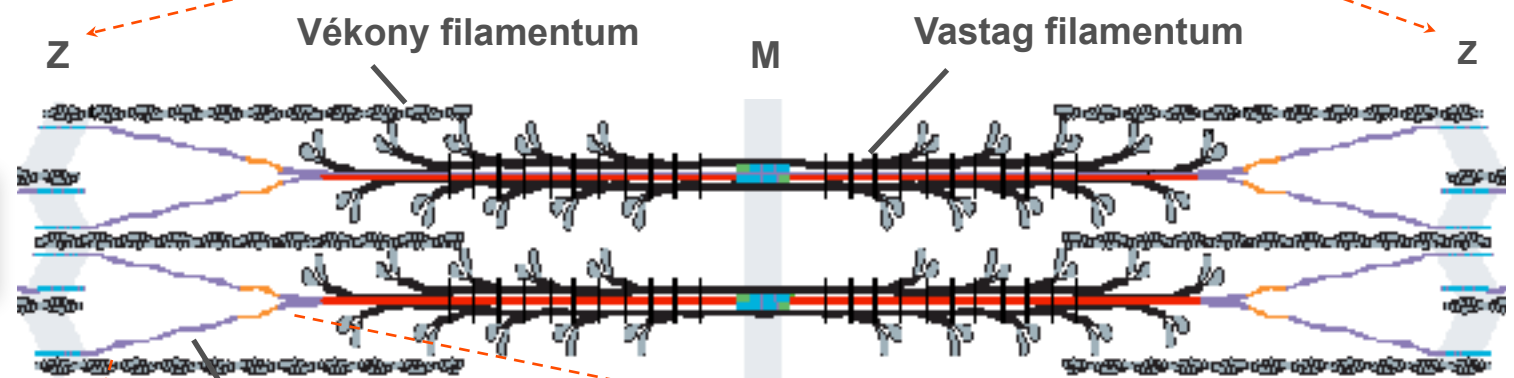
# dsDNS mechanikai túlnyújtása



# Titin: rugalmas molekuláris “gyöngyfüzér”

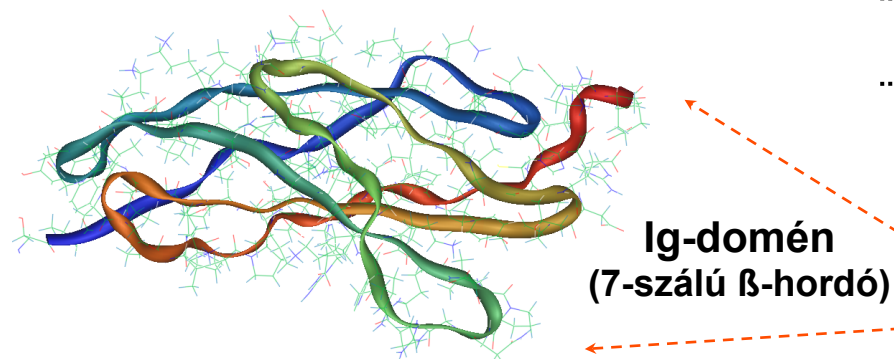
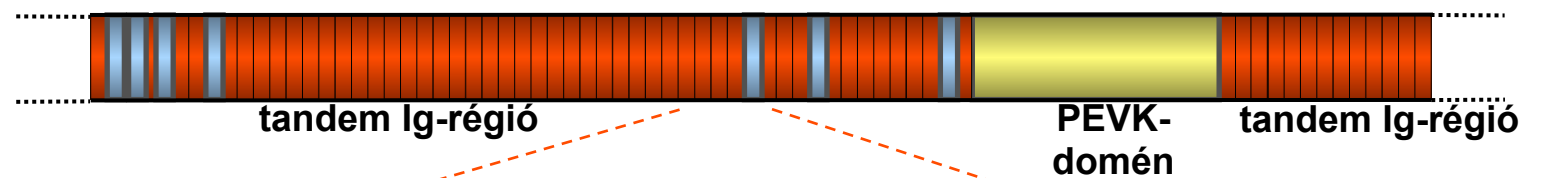


Össze-  
húzó-  
dás



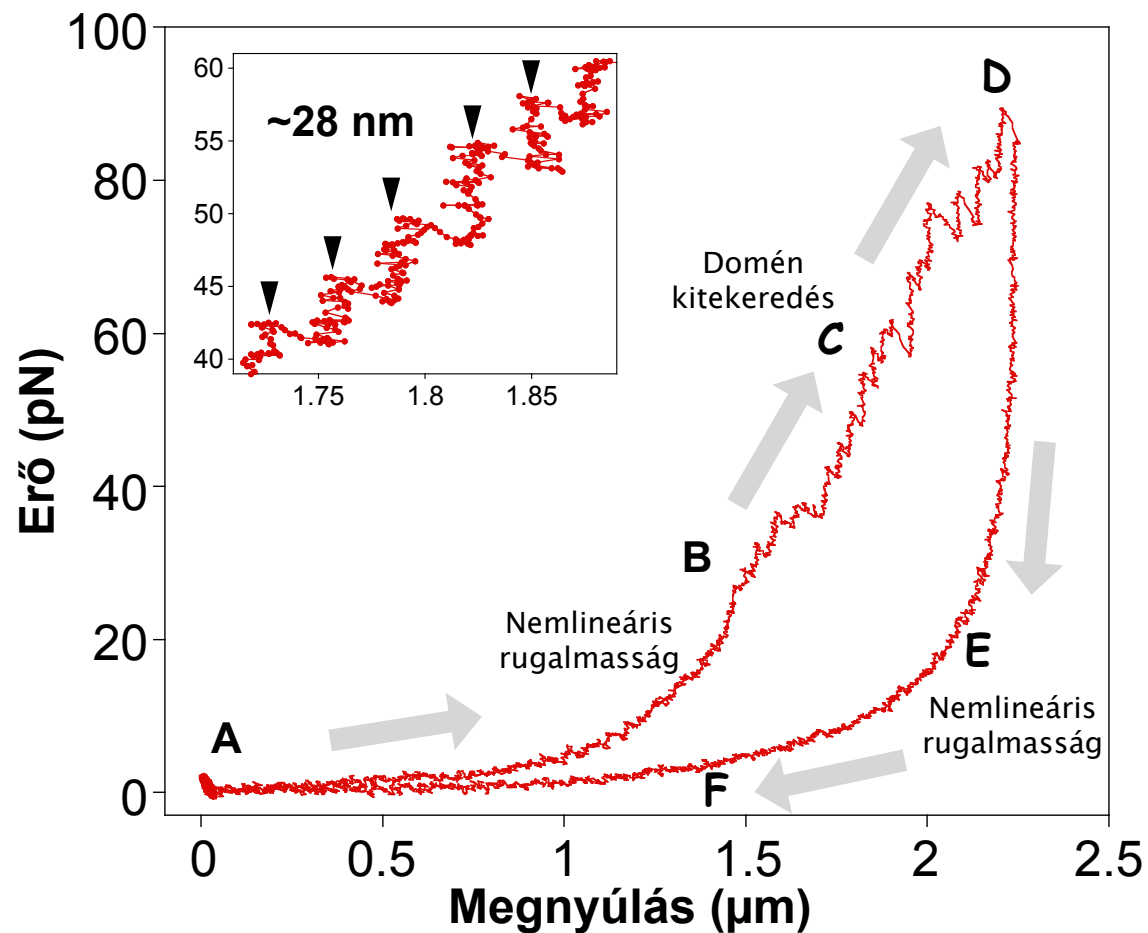
**Titin**

I-szakaszbeli szegmens



# Titinmolekula nanomechanikája lézercsipesssel

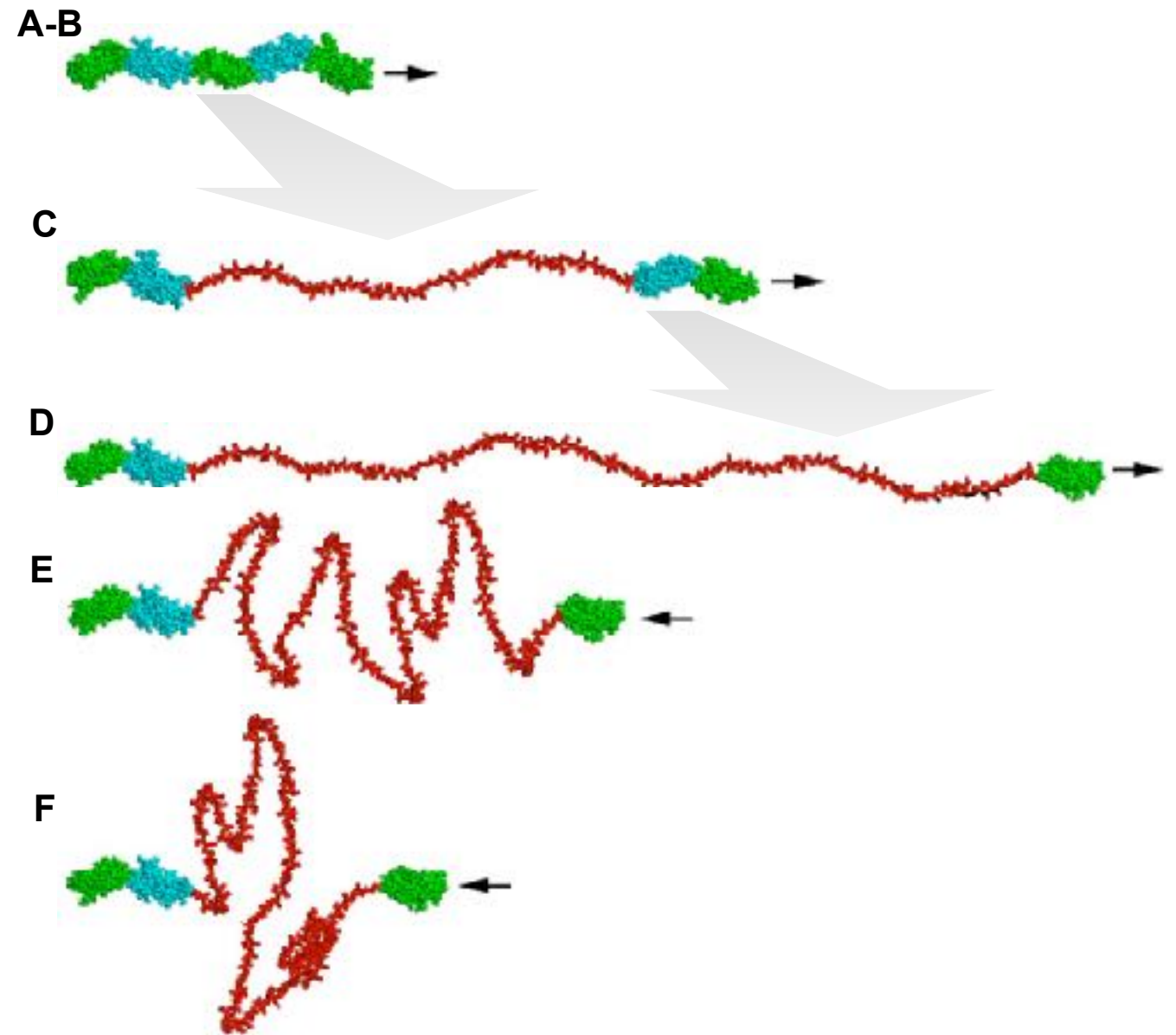
## Erőválasz



A domének egymás után, a mechanikai stabilitásuk növekvő sorrendjében tekerednek ki.

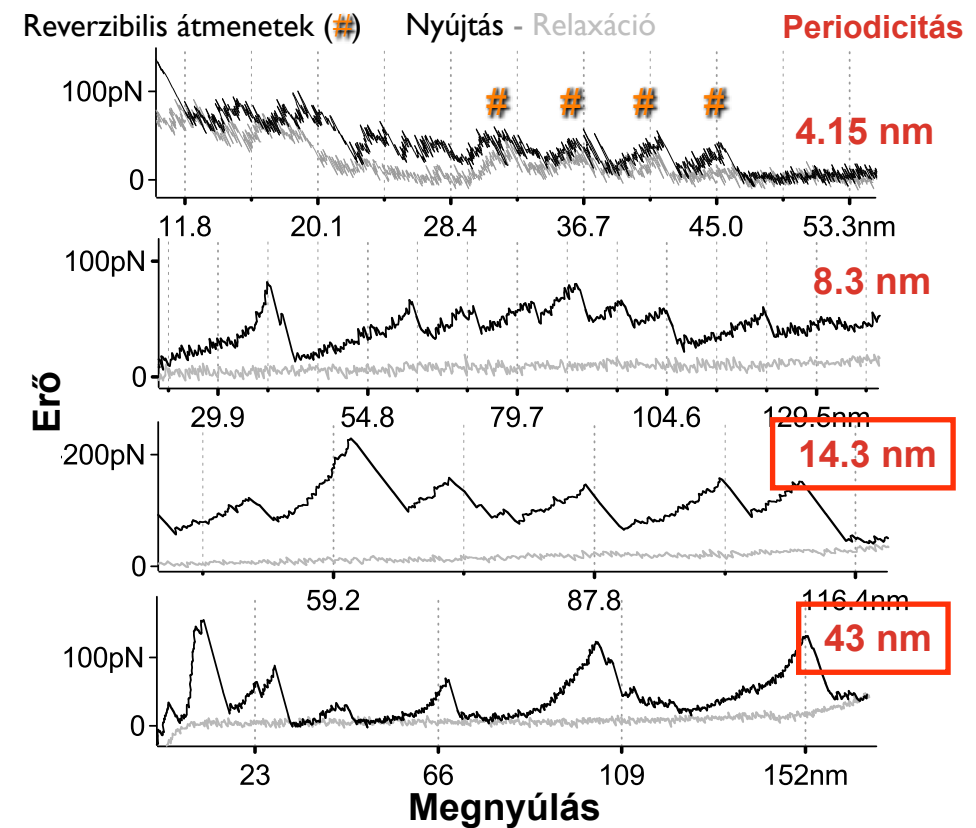
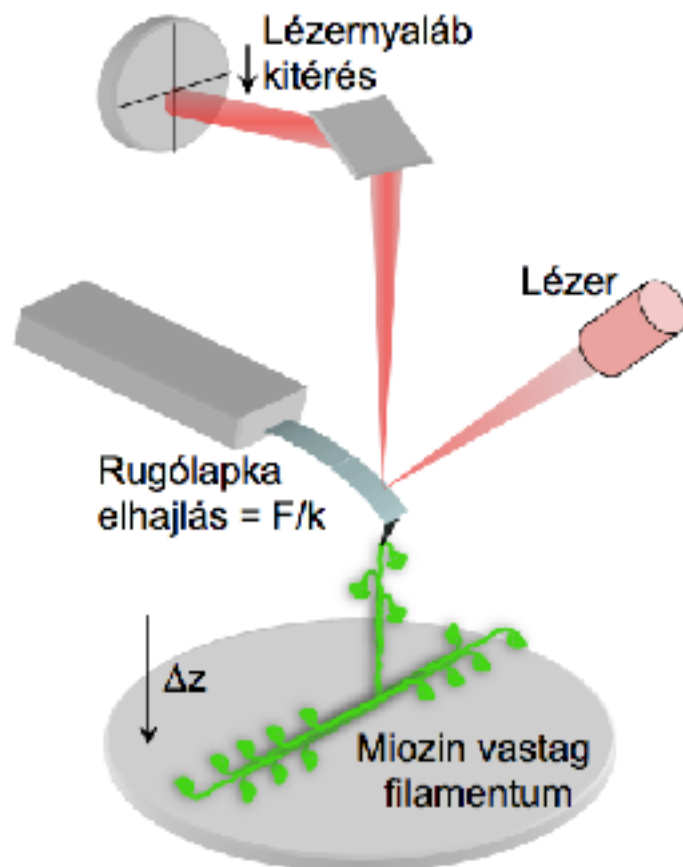
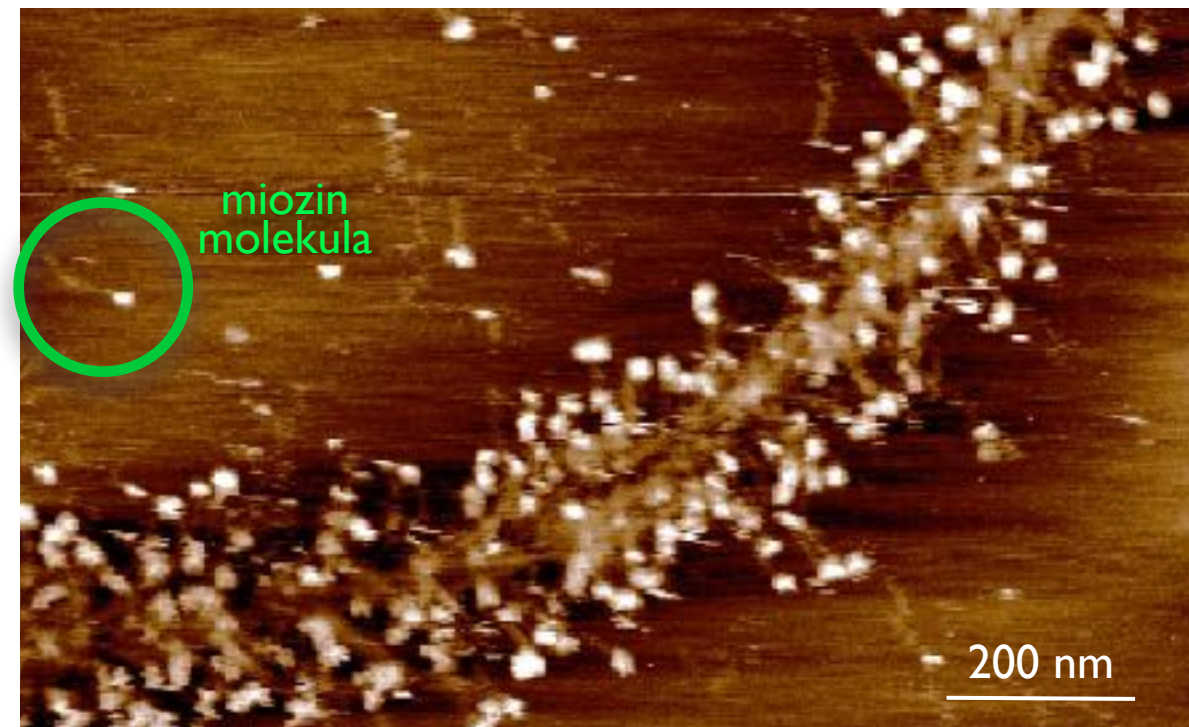
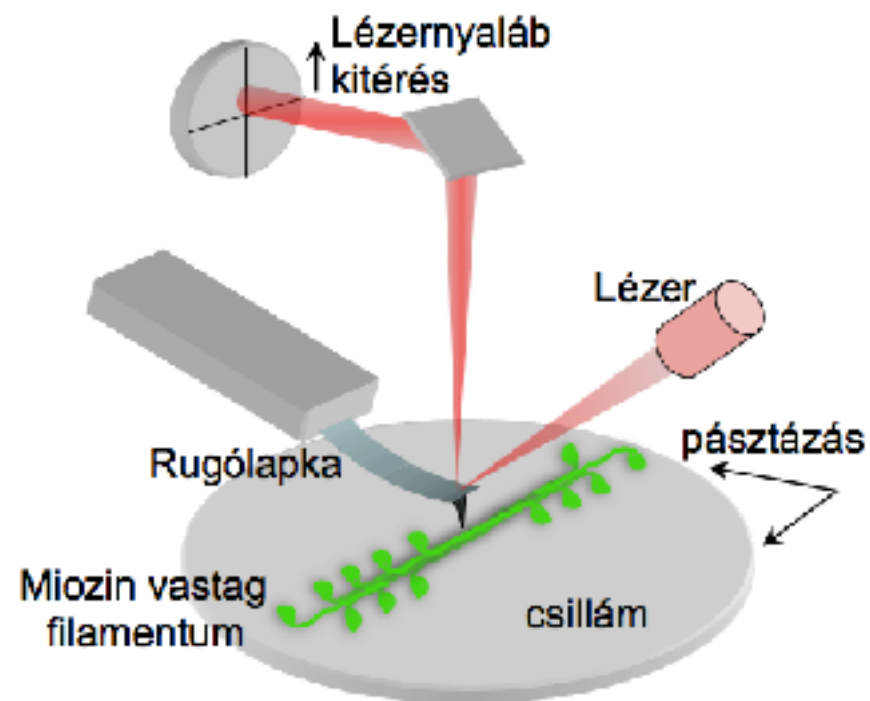
## Erővezérelt szerkezetváltozások:

Nemlineáris rugalmasságra szuperponált domén kitekeredés

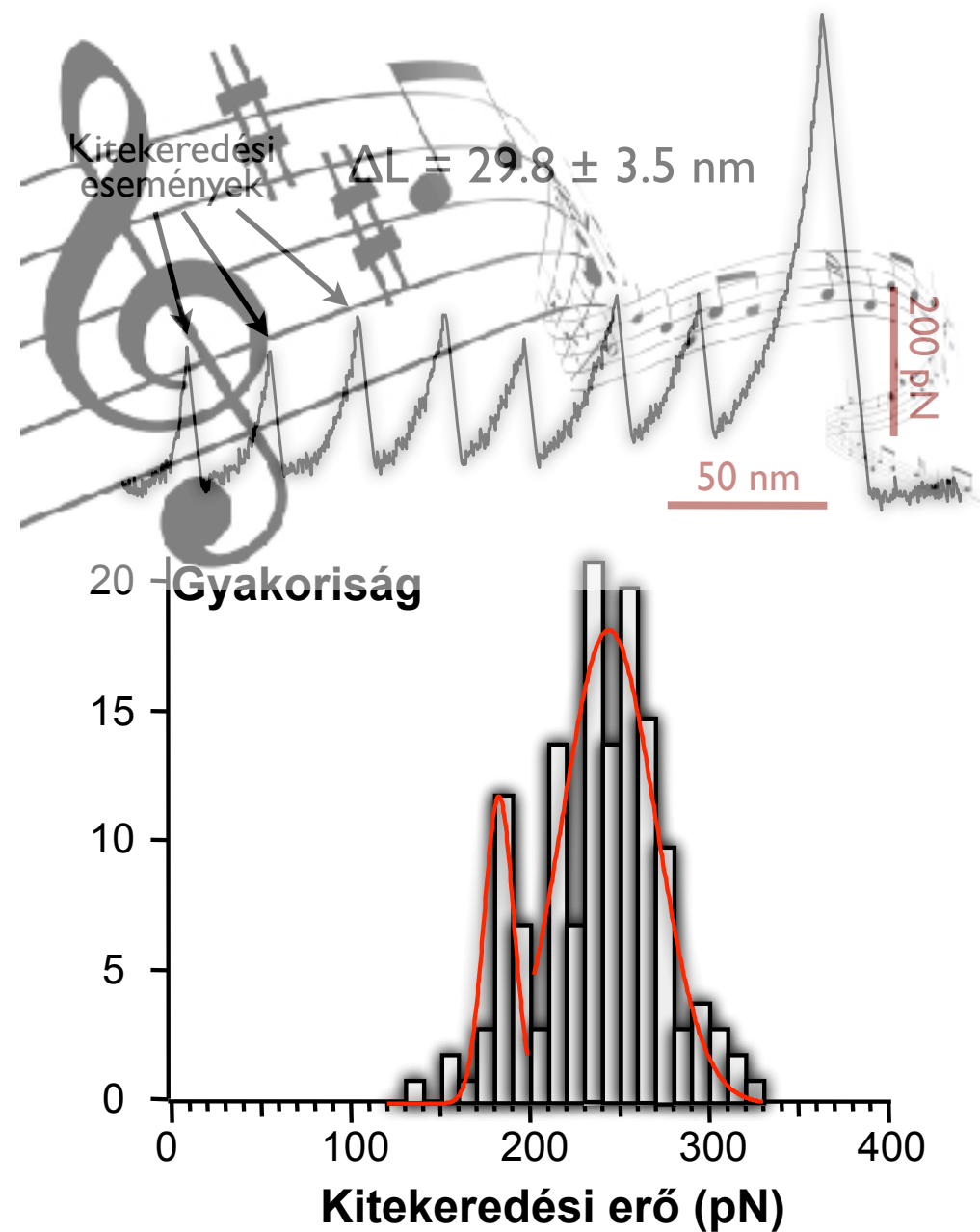
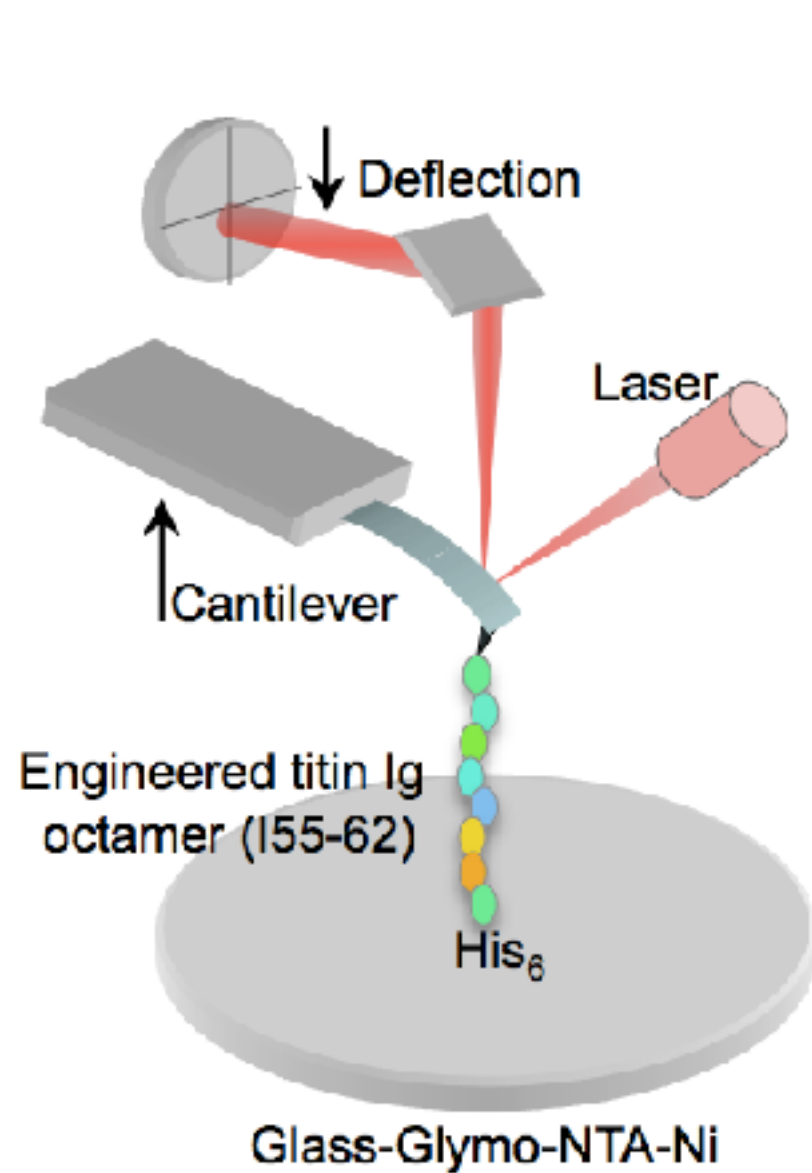




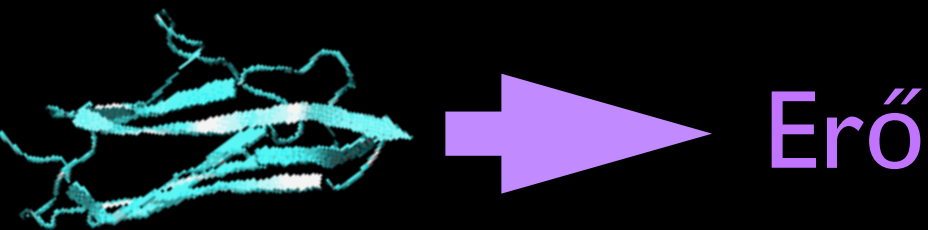
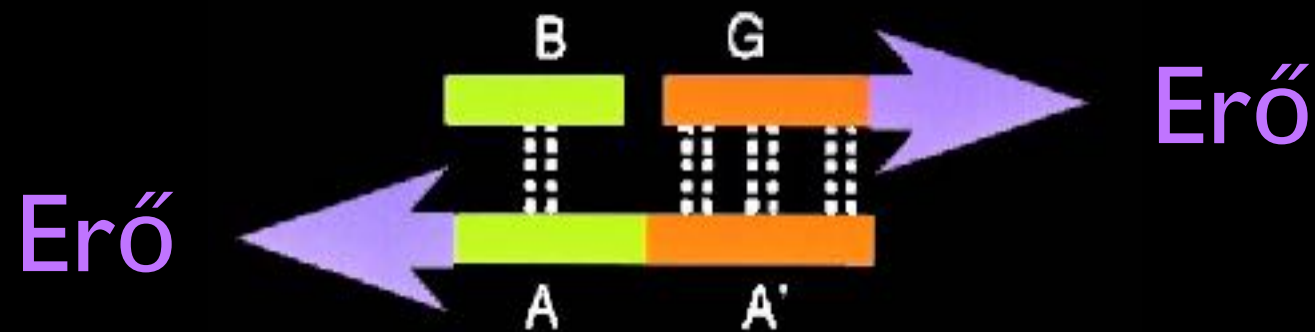
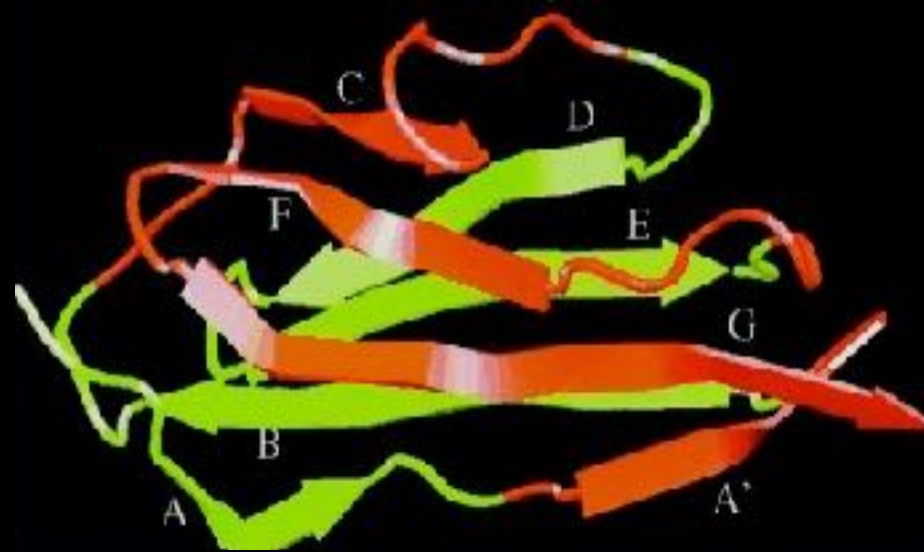
# Molekulamanipulálás AFM-mel



# Rekombináns titin fragmentum (Titin I55-62) nanomechanikája



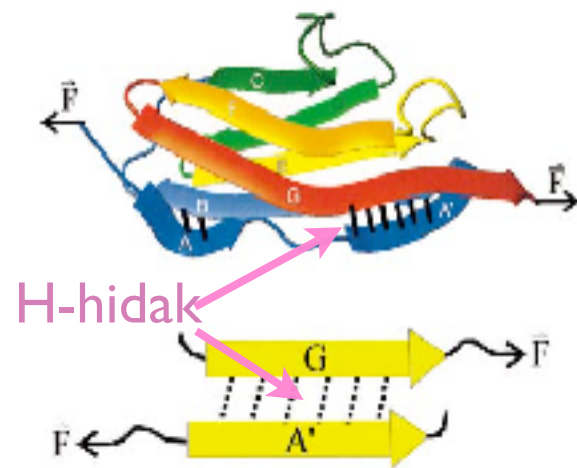
A titin doméneket párhuzamosan  
csatolt H-hidak stabilizálják



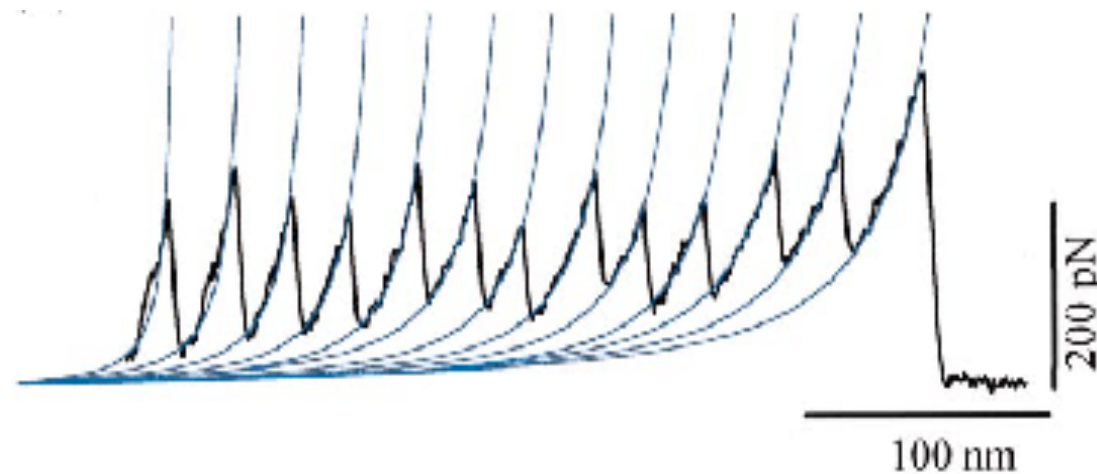


# A mechanikai stabilitás biológiai logikája

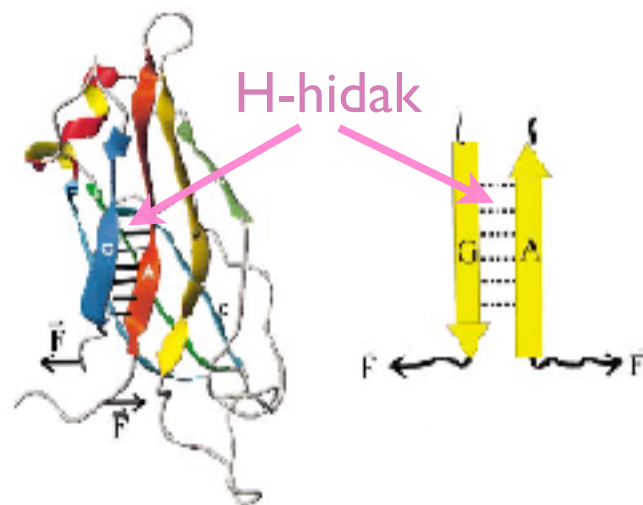
Szerkezetet összetartó H-hidak párhuzamos csatolása



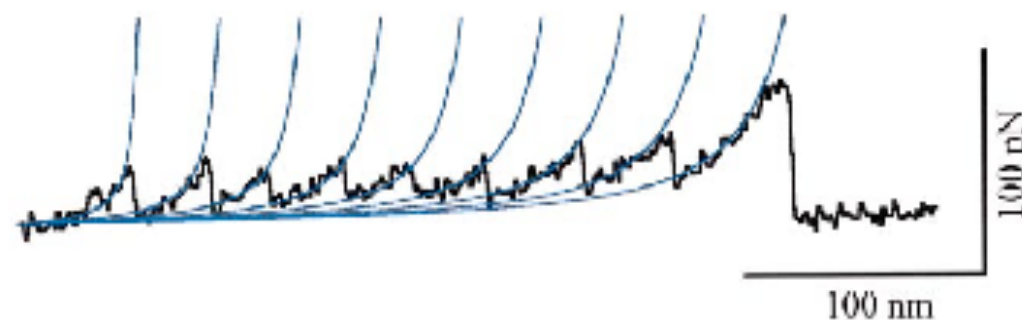
Nagy kitereredési erő



Szerkezetet összetartó H-hidak soros csatolása



Alacsony kitereredési erő

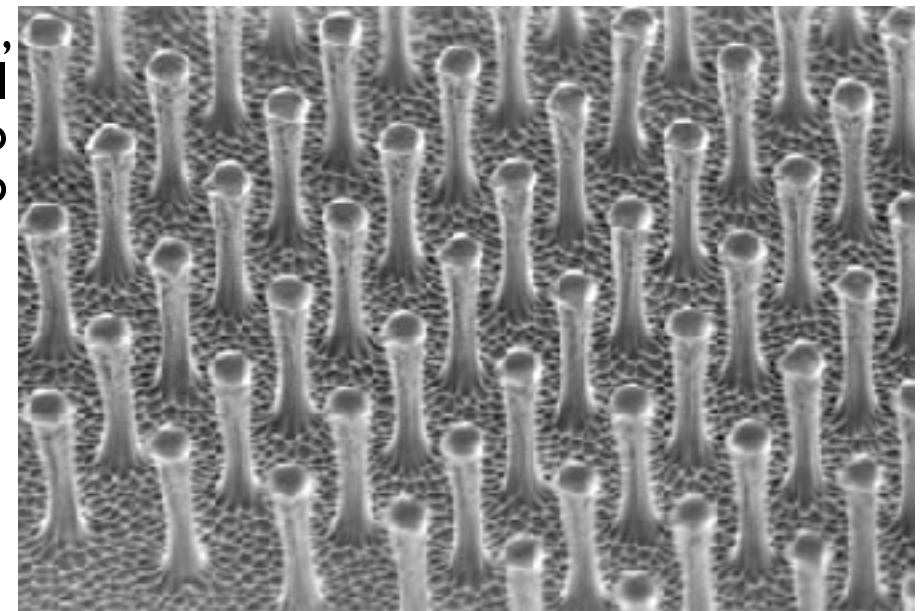


# Makroszkópikus mechanikai stabilitás

Effektív ragasztóanyag a párhuzamos csatolás elvén



Mesterséges,  
nanotechnológiával  
készített gecko  
talp



Gecko talp felületi  
tapadása:  
Párhuzamosan  
csatolt Van der  
Waals kötések a  
serték és a felület  
között

